

ОРДЕНА ТРУДОВОГО КРАСНОГО ЗНАМЕНИ
НАУЧНО-ИССЛЕДОВАТЕЛЬСКИЙ ИНСТИТУТ ОСНОВАНИЙ
И ПОДЗЕМНЫХ СООРУЖЕНИЙ (НИИОСП)
ГОССТРОЯ СССР

РЕКОМЕНДАЦИИ
ПО РАСЧЕТУ
СВАЙНЫХ ФУНДАМЕНТОВ
НА ВЕРТИКАЛЬНУЮ
И ГОРИЗОНТАЛЬНУЮ НАГРУЗКИ



Москва — 1971

СОДЕРЖАНИЕ

	Стр.
Предисловие	3
1. Новая методика определения несущей способности свай по результатам их статических испытаний с учетом фактора времени	5
2. Предложения по расчету пирамидальных свай	7
3. Предложения по расчету свай с уширенной пятой	9
4. Методика расчета несущей способности свайных фундаментов с учетом совместной работы свай (метод МИСИ им. Куйбышева)	13
5. Рекомендации по расчету несущей способности куста свай на вертикальную нагрузку (метод НИИ оснований)	21
6. Рекомендации по определению несущей способности однорядных свайных фундаментов с ростверком на грунте и одиночных свай с ростверками оголовками	23
7. Расчет с использованием ЭЦВМ свайных фундаментов с высоким жестким ростверком на вертикальную нагрузку	25
8. Расчет осадок однорядных и многорядных свайных фундаментов	26
9. Расчет одиночной сваи на совместное действие вертикальных и горизонтальных нагрузок	29
Приложение. Расчет свайных фундаментов с жестким ростверком на вертикальную нагрузку	53

Ордена Трудового Красного Знамени Научно-исследовательский институт оснований и подземных сооружений (НИИОСП) Госстроя СССР

Рекомендации по расчету свайных фундаментов на вертикальную и горизонтальную нагрузки (для экспериментального проектирования)

* * *

Стройиздат
Москва, К-31, Кузнецкий мост, д. 9

* * *

Редактор издательства Л. А. Савранская
Технический редактор В. М. Родионова
Корректор О. В. Стигневна

Сдано в набор 29/IV 1971 г. Т-13986	Подписано к печати 5/XI 1971 г. Формат 84×108 ¹ / ₃₂ д. л. — 1,17 бум. л.
Тираж 32 000 экз.	3,78 усл. печ. л. (уч.-изд. 4,20 л.) Изд. № XII—2941 Заказ № 219 Цена 21 коп.

Подольская типография Главполиграфпрома
Комитета по печати при Совете Министров СССР
г. Подольск, ул. Кирова, д. 25

ОРДЕНА ТРУДОВОГО КРАСНОГО ЗНАМЕНИ
НАУЧНО-ИССЛЕДОВАТЕЛЬСКИЙ ИНСТИТУТ ОСНОВАНИЙ
И ПОДЗЕМНЫХ СООРУЖЕНИЙ (НИИОСП)
ГОССТРОЯ СССР

РЕКОМЕНДАЦИИ
ПО РАСЧЕТУ
СВАЙНЫХ ФУНДАМЕНТОВ
НА ВЕРТИКАЛЬНУЮ
И ГОРИЗОНТАЛЬНУЮ НАГРУЗКИ
(для экспериментального проектирования)



ИЗДАТЕЛЬСТВО ЛИТЕРАТУРЫ ПО СТРОИТЕЛЬСТВУ
Москва — 1971

«Рекомендации по расчету свайных фундаментов на вертикальную и горизонтальную нагрузки» содержат расчеты для проектирования свай и свайных фундаментов на вертикальную и горизонтальную нагрузки.

Рекомендации разработаны Научно-исследовательским институтом оснований и подземных сооружений Госстроя СССР совместно с Башнинстроем, МИСИ им. Куйбышева, Уральским Промстройинипроектом и Пермским политехническим институтом.

Настоящие Рекомендации рассчитаны на инженерно-технический персонал, занимающийся экспериментальным проектированием.

ПРЕДИСЛОВИЕ

«Рекомендации по расчету свайных фундаментов на вертикальную и горизонтальную нагрузки» разработаны на основании экспериментальных и теоретических исследований, проведенных в Научно-исследовательском институте оснований и подземных сооружений совместно с Башнинстроем, МИСИ им. Куйбышева, Уральским Промстройниипроектom и Пермским политехническим институтом в 1966—1969 гг., и содержат расчеты свайных фундаментов на вертикальную и горизонтальную нагрузки для экспериментального проектирования.

Работа состоит из следующих разделов:

1. Новая методика определения несущей способности свай по результатам их статических испытаний с учетом фактора времени (НИИ оснований и подземных сооружений).

2. Предложения по расчету пирамидальных свай (НИИ оснований и подземных сооружений).

3. Предложения по расчету свай с уширенной пятой (Уральский Промстройниипроект, НИИ оснований и подземных сооружений).

4. Метод расчета несущей способности однорядных свайных фундаментов с низким ростверком, передающим часть нагрузки через подошву ростверка (НИИ оснований и подземных сооружений).

5. Методика расчета несущей способности свай (МИСИ им. Куйбышева).

6. Методика расчета несущей способности свай (НИИ оснований и подземных сооружений)¹.

¹ Метод МИСИ им. Куйбышева рекомендуется применять в слабых глинистых грунтах, в остальных случаях применяют метод НИИ оснований и подземных сооружений.

7. Расчет с использованием ЭЦВМ высокого жесткого ростверка на вертикальную нагрузку (НИИ оснований и подземных сооружений. Промстройпроект).

8. Определение осадок однорядных, двухрядных и трехрядных свайных фундаментов (Пермский политехнический институт).

9. Расчет одиночной сваи на совместное действие вертикальных и горизонтальных нагрузок (Башнистрой).

Составители: кандидаты техн. наук В. А. Барвашов, Б. В. Бахолдин, Б. Л. Фаянс, А. П. Хамов, инж. В. А. Кондрашов (НИИ оснований); кандидаты техн. наук А. А. Бартоломей (Пермский политехнический институт); Н. М. Дорошкевич, Б. А. Сальников (МИСИ им. Куйбышева); кандидаты техн. наук А. Н. Тетиор (Уральский Промстройниипроект), В. Б. Шахирев (Башнистрой), инж. А. М. Шор (Промстройпроект).

1. НОВАЯ МЕТОДИКА ОПРЕДЕЛЕНИЯ НЕСУЩЕЙ СПОСОБНОСТИ СВАЙ ПО РЕЗУЛЬТАТАМ ИХ СТАТИЧЕСКИХ ИСПЫТАНИЙ С УЧЕТОМ ФАКТОРА ВРЕМЕНИ

ОБЩИЕ ПОЛОЖЕНИЯ

1.1. Настоящая методика распространяется на все песчаные грунты и глинистые грунты от мягко-пластичной до твердой консистенции.

1.2. Методика не распространяется на просадочные грунты, илы, торф и мерзлые грунты.

ОСОБЕННОСТИ ИСПЫТАНИЯ СВАЙ ПРИ ПРИМЕНЕНИИ НОВОЙ МЕТОДИКИ ОПРЕДЕЛЕНИЯ НЕСУЩЕЙ СПОСОБНОСТИ

1.3. Загрузка свай должно производиться ступенями. Первые две ступени принимаются равными $\frac{1}{3}$ — $\frac{1}{5}$, а остальные $\frac{1}{10}$ — $\frac{1}{15}$ части ожидаемой предельной нагрузки.

1.4. Продолжительность приложения каждой ступени нагрузки — 3 ч.

1.5. Снятие отсчетов осадки свай под нагрузкой в процессе испытаний должно производиться с точностью до 0,1 мм, причем на каждой ступени нагрузки первый отсчет должен сниматься через 5 мин с момента увеличения нагрузки на ступень, второй — через 10 мин, третий — через 15 мин и каждый последующий — через 30 мин.

1.6. Общую осадку свай в процессе испытаний рекомендуется доводить до величины не менее 25 мм.

ОПРЕДЕЛЕНИЕ НЕСУЩЕЙ СПОСОБНОСТИ И СТАБИЛИЗИРОВАННОЙ (ЗАТУХШЕЙ) ОСАДКИ СВАЙ

1.7. Несущая способность свай P определяется в соответствии с СНиП II-Б.5-67 «Свайные фундаменты Нормы проектирования» по формуле

$$P = k m P_{\text{н}}, \quad (1)$$

где k — коэффициент однородности, принимаемый равным 0,8;

m — коэффициент условий работы, принимаемый $m=1$;

P_n — нормативное сопротивление сваи в t , определяемое по графику зависимости стабилизированной (затухшей) во времени осадки сваи S_{P_i} от передаваемой на нее нагрузки и соответствующее нагрузке, при которой стабилизировавшаяся (затухшая) осадка равна допустимой осадке для данного здания или сооружения, принимаемой в соответствии со СНиП II-Б.1-62* «Основания зданий и сооружений. Нормы проектирования».

1.8. Величина стабилизировавшейся (затухшей) осадки сваи для каждой ступени нагрузки определяется по результатам статических испытаний сваи в соответствии с формулой (1)

$$S_{P_i} = \Delta_1 + \Delta_2 + S_{t_1} \sqrt{\frac{360 \cdot 24 t_2}{t_1}}, \quad (2)$$

где Δ_1 — осадка сваи от нагрузки, предшествующей данной ступени, в мм;

Δ_2 — условно мгновенная осадка сваи в мм от нагрузки данной ступени, принимаемая условно равной приращению осадки сваи, измеренной спустя 5 мин с начала приложения нагрузки данной ступени;

S_{t_1} — приращение осадки сваи в мм за время $t_1 = 3$ ч выдержки рассматриваемой ступени нагрузки;

Таблица 1

Скорость затухания осадки

Время условной стабилизации (затухание) осадки t_2 в годах при величине $a_i - a_{i-1}$, равной												
3,6	2,4	2,2	2,1	1,3	1,2	1,1	1,0	0,9	0,8	0,7	0,5	0,4
1	2	3	4	5	6	7	9	10	12	14	15	19

Примечание. Для промежуточных значений $a_i - a_{i-1}$ время t_2 определяется по интерполяции.

t_2 — время условной стабилизации (затухание) осадки сваи в годах, принимаемое как время, после которого скорость затухания осадки составляет 1 мм/год , и определяемое по табл. 1 в зависимости от величины, определяемой по формуле (2)

$$a_i - a_{i-1} = \frac{1 \text{ мм/год}}{S_{t_1}}, \quad (3)$$

где t_1 — время выдержки ступени нагрузки, принимаемое обычно равным $2 \text{ ч } 55 \text{ мин}$, т. е. $t \approx 3 \text{ ч}$.

2. ПРЕДЛОЖЕНИЯ ПО РАСЧЕТУ ПИРАМИДАЛЬНЫХ СВАЙ

ОБЩИЕ ПОЛОЖЕНИЯ

2.1. Пирамидальные сваи при одном и том же расходе материала имеют в большинстве грунтовых условий большую несущую способность, чем призматические сваи.

2.2. Наиболее эффективным по грунтовым условиям случаев применения пирамидальных свай является случай, когда сваи забиваются в относительно однородных по глубине грунтах. В этом случае несущая способность пирамидальной сваи может быть в 1,5—2 раза выше в сравнении с несущей способностью призматической сваи того же объема.

2.3. Пирамидальные сваи без поперечного армирования исходя из прочности их на ударные нагрузки могут применяться при забивке их главным образом в глинистых грунтах от текучей до туго-пластичной консистенции с пробивкой в случае необходимости небольших пластов порядка 1—2 м глинистых грунтов полутвердой, а при макропористых грунтах и твердой консистенции, а также небольших пластов песчаных грунтов не выше средней плотности.

2.4. Применять пирамидальные сваи рекомендуется в тех случаях, когда несущая способность пирамидальной сваи, полученная по указанной методике, оказывается выше несущей способности призматической сваи.

2.5. Пирамидальные сваи могут применяться только в малопучнистых грунтах.

РАСЧЕТ НЕСУЩЕЙ СПОСОБНОСТИ ПИРАМИДАЛЬНЫХ СВАЙ

2.6. Несущая способность P в t забивной пирамидальной или конической сваи, работающей на осевую сжимающую нагрузку, определяется как сумма расчетных сопротивлений грунта под нижним концом сваи за счет сил трения и отпора грунта по формуле

$$P = k m [R_n F + \sum U_i l_i (f_i + 10 i_c E_i \gamma_r)], \quad (4)$$

где k — коэффициент однородности грунта, принимаемый $k=0,7$;

m — коэффициент условий работы, принимаемый $m=1$;

R_n — нормативное сопротивление грунта под нижним концом свай в t/m^2 , определяемое по табл. 1 СНиП II-Б.5-67 «Свайные фундаменты. Нормы проектирования»;

F — площадь опирания на грунт нижнего конца сваи в m^2 ;

U_i — средняя величина периметра поперечного сечения сваи в пределах i -го слоя грунта в m ;

l_i — толщина i -го слоя грунта, соприкасающегося с боковой поверхностью сваи, в m ;

f_i — нормативное сопротивление i -го слоя грунта по боковой поверхности сваи в t/m^2 , определяемое по табл. 2 СНиП II-Б.5-67 «Свайные фундаменты. Нормы проектирования»;

i_c — уклон боковой поверхности сваи в долях единиц;

E_i — модуль деформации i -го слоя грунта, окружающего боковую поверхность сваи в $kГ/см^2$, определяемый по результатам компрессионных испытаний;

γ_r — коэффициент отпора грунта, определяемый по табл. 2, в зависимости от вида грунта.

Коэффициент отпора грунта

Вид грунта	Значение
Пески и супеси	0,5
Суглинки	0,6
Глины тощие ($W = 18$)	0,7
Глины жирные ($W = 25$)	0,9

Примечание. При глинах с числом пластичности $18 < W < 25$ значение γ_r берется по интерполяции.

Пример.

Пирамидальная свая длиной 6 м; сечением 40×40 м в верхнем конце и 20×20 м в нижнем погружена в пределах площадки, характеризующейся залеганием на глубину до 3 м туго-пластичных суглинков с консистенцией $B=0,3$ и модулем деформации $E=60 \text{ кг/см}^2$, подстилаемых мягко-пластичными суглинками с консистенцией $B=0,4$ и модулем деформации $E=45 \text{ кг/см}^2$. Определить несущую способность указанной пирамидальной сваи на вертикальную нагрузку.

Расчетные величины согласно приведенным выше условиям и СНиП II-Б.5-67 «Свайные фундаменты. Нормы проектирования» следующие:

$$R_H = 210 \text{ т/м}^2; F = 0,04 \text{ м}^2; U_1 = 4 \cdot 0,35 = 1,35 \text{ м};$$

$$U_2 = 4 \cdot 0,25 = 1 \text{ м}; l_1 = 3 \text{ м}; l_2 = 3 \text{ м};$$

$$f_1 = \frac{2,3 + 3,5}{2} = 2,9 \text{ т/м}^2; f_2 = \frac{1,5 + 2,5}{2} = 2 \text{ т/м}^2;$$

$$i_c = \frac{0,5 (0,4 - 0,2)}{6} = 0,0166.$$

По формуле (4) имеем:

$$P = 0,7 \cdot 1 [210 \cdot 0,04 + 1,35 \cdot 3 (2,9 + 10 \cdot 0,0166 \cdot 60 \cdot 0,6) + \\ + 1,3 (2 + 10 \cdot 0,0166 + 45 \cdot 0,6) = 0,7 [8,4 + 4,1 (2,9 + 6) + \\ + 3 (2 + 4,5)] = 0,7 (8,4 + 36 + 19,6) = 0,7 \cdot 64 = 45 \text{ т.}$$

3. ПРЕДЛОЖЕНИЯ ПО РАСЧЕТУ СВАЙ С УШИРЕННОЙ ПЯТОЙ

ОБЩИЕ ПОЛОЖЕНИЯ

3.1. Перспективной конструкцией свай с уширением для массового строительства в районах распространения слабых грунтов являются сваи с уширенным нижним концом.

3.2. Сваи с уширением в нижнем конце ствола рекомендуется применять для зданий и сооружений, передающих на фундаменты практически только вертикальные сжимающие нагрузки.

3.3. Применение свай с уширениями рационально в грунтовых условиях, характеризующихся залеганием с поверхности слабых грунтов (глинистые грунты текуче-пластичной и текучей консистенции; илы, рыхлые пески, торф), подстилаемых на некоторой глубине слоем песчаных грунтов средней плотности или слоем глинистых грунтов туго-пластичной и полутвердой консистенции.

3.4. Использование свай с уширениями в указанных грунтовых условиях позволяет уменьшить расход материала по сравнению с железобетонными призматическими сваями за счет увеличения несущей способности свай в 1,5—2 раза и более при сохранении неизменными размеров ствола свай.

3.5. Возможно применение свай с объемным и плоским уширением.

3.6. Сваи с объемным уширением рекомендуются в случаях, когда с поверхности залегают оплывающие грунты (например, рыхлые насыщенные водой пески) или торф.

Сваи с плоским уширением рекомендуется применять также при устройстве свайных фундаментов в слабых неоплывающих грунтах, так как в одном направлении они обеспечивают первоначальную устойчивость ствола свай без тщательной засыпки пазух, образующихся между грунтом и сваем при забивке.

3.7. Рекомендуемые параметры свай с уширением ствола: длина свай до 12 м, сечение ствола 30×30 см; сечение объемного уширения до 60×60 см, а плоского до 30×90 см; высота уширения до 100 см.

РАСЧЕТ ФУНДАМЕНТОВ ИЗ ЗАБИВНЫХ СВАЙ И УШИРЕНИЕМ СТВОЛА

3.8. Несущая способность забивных свай с уширениями определяется по грунту и по материалу свай (рис. 1).

3.9. Несущая способность по грунту в t для свай с уширением у острия, забитых в оплывающие грунты или при засыпке пазух выше уширения песком с уплот-

нением его до средней плотности, определяется по формуле

$$P = k m (R_n F_y + U_y h_y f_n + U_c \sum f_i^n l_i), \quad (5)$$

где k — коэффициент однородности грунта, принимаемый $k=0,7$;

m — коэффициент условий работы, принимаемый $m=1$;

R_n — нормативное сопротивление по указаниям табл. 1 СНиП II-Б.5-67 «Свайные фундаменты. Нормы проектирования»;

F_y — площадь поперечного сечения уширенного конца сваи в месте наибольшего уширения в m^2 ;

U_y — периметр уширения в m ;

h_y — высота уширения в m ;

f_n — нормативное сопротивление грунта по боковой поверхности уширения в t/m^2 , определяемое по табл. 2 СНиП II-Б.5-67 «Свайные фундаменты. Нормы проектирования», на уровне середины уширения;

U_c — периметр ствола сваи в m ;

f_i^n — нормативное сопротивление i -го слоя грунта по боковой поверхности ствола, определяемое применительно к грунту естественных напластований по табл. 2 СНиП II-Б.5-67 «Свайные фундаменты. Нормы проектирования»;

l_i — толщина i -го слоя грунта, соприкасающегося с боковой поверхностью ствола, в m .

При расчете l_i не учитывается трение грунта по стволу над уширением в пределах высоты, равной одному диаметру или размеру стороны уширения.

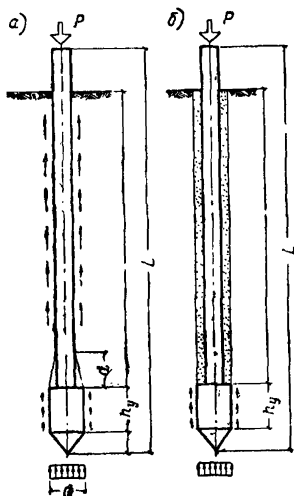


Рис. 1. Расчетная схема свай с уширением
а — без заполнения пазух; б — с заполнением пазух

3.10. Несущая способность по грунту для свай с уширением у острия в t , погруженных без заполнения пазух выше уширения или с неуплотненной засыпкой, вычисляется по формуле

$$P = k m (R_n F_y + U_y h f_n - P_r), \quad (6)$$

где $k, m, R_n, F_y, U_y, h, f_n$ см. формулу (5);

P_r — вес засыпки пазух выше уширений, равный произведению объема засыпки на объемный вес грунта, в t/m^3 .

3.11. Если полость в грунте выше уширения не заполнена плотным грунтом, несмещаемость свай в горизонтальном направлении должна быть обеспечена конструкцией ростверка или наклонными сваями.

3.12. Расчет свай с местными уширениями по материалу ствола производится как для центрально сжатых элементов по формулам:

а) железобетонные сваи

$$P \leq 1000 m \varphi (R_{пр} F_б + R_{a.y} F_a); \quad (7)$$

б) металлические сваи

$$P \leq 1000 R F_{нт},$$

$$P \leq 1000 R \varphi F, \quad (8)$$

где m — коэффициент условий работы, $m=1$;

φ — коэффициент продольного изгиба;

$R_{пр}$ — призмная прочность бетона;

$F_б$ — площадь сечения свай;

$R_{a.y}$ — условное расчетное сопротивление арматуры, равное расчетному сопротивлению, умноженному на коэффициент условий работы в соответствии с главой СНиП II-Б.1-62 «Основания зданий и сооружений. Нормы проектирования»;

F_a — площадь сечения продольной арматуры;

R — расчетное сопротивление стали на сжатие;

$F_{нт}$ — площадь сечения нетто;

F — общая площадь сечения стальной сваи.

Если полость, образующаяся при забивке, выше уширения заполнена песком с уплотнением или оплывшим грунтом, то коэффициент продольного изгиба принимается равным $\varphi=1$. В остальных случаях коэффициент продольного изгиба φ определяется по табл. 3.

Значение коэффициента ϕ

$\frac{l_0}{b}$	14	16	18	20	22	24	26	28	30
$\frac{l_0}{d}$	12,1	13,9	15,6	17,3	19,1	20,8	22,5	24,3	26
$\frac{l_0}{r}$	50	55,4	62,2	69	76	83	90	97	104
ϕ	1	0,88	0,8	0,63	0,67	0,62	0,57	0,53	0,5

Примечание. В таблице приняты обозначения: l_0 — расчетная длина сваи; b — наименьший размер сечения призматической сваи; d — диаметр круглой сваи; r — наименьший радиус инерции сечения.

Расчетную длину сваи l_0 определяют в зависимости от условной величины заделки головы в ростверке и забивки уширения в плотный грунт.

Если уширение оперто на плотный грунт, принимается шарнирное закрепление ствола. Когда уширение забито в плотный грунт не менее чем на $2b$ (где b — ширина уширения), можно принимать жесткое защемление нижнего конца сваи.

Расчетная длина l_0 вычисляется в зависимости от длины сваи l так:

а) при полном защемлении обоих концов сваи $l_0 = 0,5l$;

б) при защемлении одного конца и шарнирном опирании другого $l_0 = 0,7l$;

в) при шарнирно неподвижном закреплении обоих концов $l_0 = l$;

г) при одном защемлении и другом свободном конце (голова сваи) $l_0 = 2l$.

4. МЕТОДИКА РАСЧЕТА НЕСУЩЕЙ СПОСОБНОСТИ СВАЙНЫХ ФУНДАМЕНТОВ С УЧЕТОМ СОВМЕСТНОЙ РАБОТЫ СВАЙ (метод МИСИ им. Куйбышева)¹

4.1. Несущая способность свайного фундамента с учетом совместной работы свай определяется по формуле

$$P = \sum_{i=1}^n (T_i l + R_i F), \quad (9)$$

¹ Метод рекомендуется применять в слабых глинистых грунтах.

где l — глубина погружения свай в грунт в m ;
 F — площадь поперечного сечения сваи в m^2 ;
 n — количество свай в кусте;
 R_i — сопротивление грунта под нижним концом i -й сваи в кусте в t/m^2 , определяемое согласно п. 4.2;
 T_i — сопротивление грунта, приходящееся на единицу длины боковой поверхности i -й сваи в кусте в t/m , определяемое согласно п. 4.3.

4.2. Сопротивление грунта под нижним концом i -й сваи в кусте определяется по формуле

$$R_i = R_0 (1 + K_\sigma)_i, \quad (10)$$

где R_0 — сопротивление грунта под нижним концом одиночной сваи в t/m^2 ;
 K_σ — безразмерный коэффициент, учитывающий увеличение сопротивления грунта под острием сваи в кусте в результате уплотнения грунта в процессе забивки соседних свай, определяемый по формуле

$$K_\sigma = \sum_{i=1}^{n-1} \bar{K}_{\sigma_i}, \quad (11)$$

где \bar{K}_{σ_i} — коэффициент, учитывающий увеличение сопротивления грунта под нижним концом сваи от влияния одной сваи. Их значения представлены графиками на рис. 2 в зависимости от соотношения размеров сваи $\eta = \frac{l}{d}$ и расстояния между сваями $r = \frac{a}{d}$, где d — диаметр круглой или сторона поперечного сечения квадратной сваи и a — расстояние между сваями по осям.

Суммирование по формуле (11) осуществляется следующим образом: вычерчивается в определенном масштабе куст свай, замеряются расстояния a от оси рассматриваемой сваи до осей всех других свай куста, вычисляются отношения $r = \frac{a}{d}$ и соответственно по рис. 2 определяются \bar{K}_{σ_i} , сумма которых K_σ .

4.3. Сопротивление грунта по боковой поверхности свай в кусте определяется в зависимости от положения свай в плане куста.

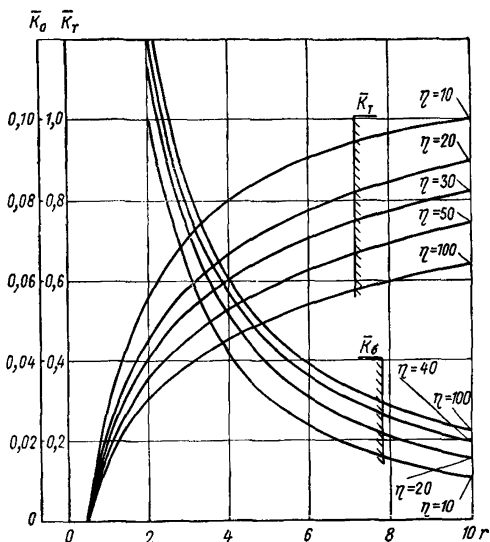


Рис. 2. График зависимости K_{σ} , K_{τ} от n
 $1-16$ — количество свай в плане

Для свай, расположенной в центре тяжести квадратного в плане куста, по формуле

$$T_{ц} = T_0 K_{ц.т}, \quad (12)$$

где T_0 — сопротивление грунта, приходящееся на единицу длины боковой поверхности одиночной свай в t/m , равное $\pi d f$, где f — удельное сопротивление грунта по боковой поверхности одиночной свай в t/m^2 ;

$K_{ц.т}$ — безразмерный коэффициент, учитывающий снижение трения грунта по боковой поверх-

ности центральной сваи в кусте вследствие совместной работы всех свай. Он определяется по формуле

$$K_{\text{ку}} = (\bar{K}_T)_1 (\bar{K}_T)_2 \dots (\bar{K}_T)_{\frac{n}{2}-1} (\bar{K}_T)_{\frac{n}{2}}, \quad (13)$$

где \bar{K}_T — коэффициент, учитывающий снижение сопротивления грунта по боковой поверхности сваи от действия одной сваи. Значения этих коэффициентов представлены графиками на рис. 2 в зависимости от η и r . Порядок вычисления коэффициента K_T изложен ниже.

Для любой сваи свайного фундамента (кроме сваи, расположенной в центре тяжести квадратного куста) по формуле

$$T_i = T_0 \frac{\sqrt{\pi} (K_T)_{\text{макс } i}}{\sqrt{|\ln K_T|_i}} \Phi(x)_i, \quad (14)$$

где $\Phi(x)_i$ — интеграл вероятности, определяемый по графику (рис. 3) в зависимости от K_T и m , где m — количество нулей в значении K_T до первой значащей цифры, включая и нуль целых.

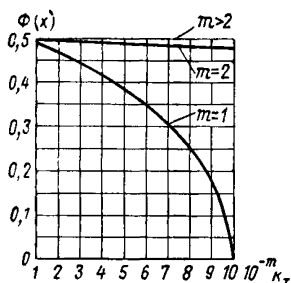


Рис. 3. График зависимости $\Phi(x)$ от K_T

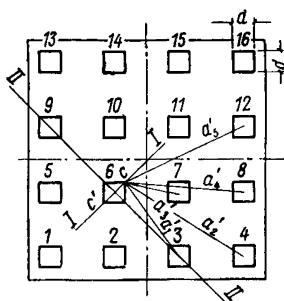


Рис. 4. Расчетная схема

Входящий в формулу (14) коэффициент K_T учитывает снижение сопротивления грунта по боковой поверхности сваи в кусте по сравнению с одиночной свайей. Он равен

$$K_T = \frac{(K_T)_{\text{мин}}}{(K_T)_{\text{макс}}}. \quad (15)$$

Для угловых и боковых свай куста $(K_T)_{\max} = 1$.

Коэффициенты $(K_T)_{\min}$ и $(K_T)_{\max}$ определяются по следующим формулам:

$$(K_T)_{\min} = (\bar{K}_T)_1 (\bar{K}_T)_2 (\bar{K}_T)_3 \dots (\bar{K}_T)_{j-1} (K_T); \quad (16)$$

$$(K_T)_{\max} = (\bar{K}_T)_{j+1} (\bar{K}_T)_{j+2} \dots (\bar{K}_T)_{n-1} (\bar{K}_T)_n, \quad (17)$$

где j — число свай, расположенных в сторону центра тяжести плана свайного фундамента от линии II , проходящей через центр рассматриваемой сваи перпендикулярно прямой I , соединяющей центра сваи и центр тяжести свайного фундамента;

$n-j$ — число свай, расположенных по другую сторону линии II .

Порядок вычисления коэффициентов $(K_T)_{\min}$ и $(K_T)_{\max}$ изложен в п. 4.4.

4.4. Расчеты по формулам (16) и (17) производятся в следующей последовательности. На вычерченном в определенном масштабе плане куста свай (рис. 4) проводится прямая I , соединяющая центр тяжести куста и центр рассматриваемой сваи. Пересечение этой прямой с боковой поверхностью рассматриваемой сваи дает точки C и C' .

Перпендикулярно прямой через центр рассматриваемой сваи проводится другая прямая, которая делит свайное поле на две части. Неиспользование вследствие совместной работы свай куста сил трения грунта по боковой поверхности рассматриваемой сваи в точке C учитывается коэффициентом $(K_T)_{\min}$, который определяется по формуле (16), как произведение коэффициентов \bar{K}_T от j свай, расположенных в той части свайного поля, где находится точка C . Коэффициенты \bar{K}_T определяются по графикам рис. 2 в зависимости от η и $r = \frac{a}{d}$, где a — есть расстояние от точки рассматриваемой сваи до центра любой другой сваи. Количество коэффициентов \bar{K}_T соответствует числу свай этой части свайного поля.

Коэффициент $(K_T)_{\max}$ определяется аналогично. Только в данном случае рассматривается точка C' и другая часть свайного поля.

В том случае, когда требуется определить коэффициент для сваи, расположенной в центре тяжести свай-

ного куста, прямая II проводится в любом направлении деля свайное поле на две равные части. Коэффициент K_T определяется аналогично вышеизложенному из условия воздействия на точку C центральной сваи любой половины свайного куста. Местоположение точки C определяется точкой пересечения боковой поверхности сваи и прямой, проходящей через центр этой сваи перпендикулярно прямой II .

Пример расчета

Требуется определить несущую способность куста с высоким ростверком, состоящего из 16 свай (рис. 4).

Глубина забивки свай в грунт $l=10$ м, сечение свай 35×35 см, расстояние между сваями (по осям) $3d=1,05$ м. В результате испытания сваи-штампа такого же размера установлено следующее: полная несущая способность сваи — 60 т; сопротивление грунта под острием — 30 т. Определяем T_0 и R_0 .

$$R_0 = \frac{30}{0,35 \cdot 0,35} = 246 \text{ т/м}^2;$$

$$T_0 = \frac{60 - 30}{10} = 3 \text{ т/м.}$$

Для определения несущей способности всего куста достаточно определить несущую способность трех свай — угловой, боковой и центральной. Тогда полная несущая способность всего куста будет равна сумме несущих способностей четырех угловых, восьми боковых и четырех центральных свай.

ЦЕНТРАЛЬНАЯ СВАЯ

Для определения R_0 по формуле (10) нужно знать коэффициенты \bar{K}_G (см. рис. 2), определяемые в зависимости от расстояния по осям между сваями и всеми остальными сваями куста.

Расчет сведен в табл. 4.

Таблица 4

Значения расчетных величин

№ свай, от которых учитывается влияние	Расстояние a' в м	Расстояние $r = \frac{a'}{d}$ в м	Коэффициент \bar{K}_G
1; 3; 9; 11	1,48	4,25	0,0515
2; 5; 7; 10	1,05	3	0,076
4; 12; 13; 15	2,35	6,7	0,03
8; 14	2,1	6	0,034
16	2,96	8,5	0,022

Коэффициенты \bar{K}_σ определены для $\eta = \frac{10}{0,35} = 28,7 \approx 30$.

По формуле (11) находим

$$\bar{K}_\sigma = 4 \cdot 0,0515 + 4 \cdot 0,076 + 4 \cdot 0,03 + 2 \cdot 0,034 + 0,022 = \\ = 0,206 + 0,304 + 0,12 + 0,068 + 0,22 = 0,72.$$

Отсюда

$$R_6 = R_0 (1 + K_\sigma) = 246 (1 + 0,72) = 423 \text{ т/м}^2.$$

Для определения T_6 по формуле (14) необходимо знать K_T (рис. 2), определяемые в зависимости от расстояния a' от точки C (или C') до центров других свай куста. Результаты вычислений сведены в табл. 5.

Теперь определяем $(K_T)_{\text{мин}}$, $(K_T)_{\text{макс}}$ и K_T .

$$(K_T)_{\text{мин}} = 0,62^2 \cdot 0,725^2 \cdot 0,485^2 \cdot 0,69^2 \times \\ \times 0,71^2 \cdot 0,57 \cdot 0,765 = 0,005; \\ (K_T)_{\text{макс}} = 0,62^2 \cdot 0,485^2 \cdot 0,57 = 0,0517;$$

$$K_T = \frac{(K_T)_{\text{мин}}}{(K_T)_{\text{макс}}} = \frac{0,005}{0,0517} = 0,097.$$

Согласно рис. 3 определяем $\Phi(x)$ для $K_T = 0,097$ и $m = 2\Phi(x) = 0,485$.

Полученные значения K_T и $\Phi(x)$ подставляем в формулу (14)

$$T_6 = T_0 \frac{(K_T)_{\text{макс}} \sqrt{\pi}}{\sqrt{|\ln K_T|}} \Phi(x) = \\ = 3 \frac{1,77 \cdot 0,0517}{\sqrt{|\ln 0,097|}} 0,485 = 0,087 \text{ т/м}.$$

Полная несущая способность центральной сваи

$$R_6 = 423 \cdot 0,35 \cdot 0,35 + 0,087 \cdot 10 = \\ = 51,8 + 0,87 = 52,67 \text{ т}.$$

БОКОВАЯ СВАЯ

Коэффициенты K_σ определяем аналогично вышесказанному. Вычисления сведены в табл. 6.

По формулам (16) и (17) находим:

$$K_\sigma = \sum_{i \neq 1}^{15} \bar{K}_\sigma = 3 \cdot 0,076 + 2 \cdot 0,0515 + 2 \cdot 0,034 + 3 \cdot 0,0 + 0,022 + \\ + 2 \cdot 0,0195 + 0,0205 + 0,0175 = 0,228 + 0,103 + 0,068 + 0,09 + \\ + 0,022 + 0,039 + 0,0205 + 0,0175 = 0,885;$$

$$R_2 = 246 (1 + 0,588) = 390 \text{ т/м}^2.$$

Таблица 5

Результаты расчета

№ свай, от которых учитывается влияние	Расстояние a в м	Расстояние a' в м	Коэффициент K_T
<i>Для точки С</i>			
3; 9	1,55	4,3	0,62
4; 13	2,28	6,5	0,725
7; 10	0,91	2,6	0,485
8; 14	1,96	5,6	0,69
12; 15	2,14	6,1	0,71
11	1,24	3,55	0,57
16	2,73	7,8	0,765

Для точки С'

3; 9	1,51	4,3	0,62
2; 5	0,91	2,6	0,485
1	1,24	3,55	0,57

Таблица 6

Результаты расчета

№ свай, от которых учитывается влияние	Расстояние a' в м	Расстояние $r = \frac{a'}{d}$ в м	Коэффициент K_{σ}
1, 3, 6	1,05	3	0,076
5, 7	1,48	4,25	0,0515
4, 10	2,10	6	0,034
8, 9, 11	2,35	6,7	0,03
12	2,96	8,5	0,022
13, 15	3,33	9,5	0,0195
14	3,15	9	0,0205
16	3,78	10,8	0,0175

Таблица 7

Определение коэффициентов \bar{K}_T

№ свай, от которых учитывается влияние	Расстояние a' в м	Расстояние $r = \frac{a'}{d}$ в м	Коэффициент $\frac{\bar{K}_T}{K_T}$
3	0,98	2,8	0,5
4	2,04	5,8	0,7
5	1,44	4,1	0,61
6	0,895	2,55	0,48
7	1,32	3,75	0,585
8	2,22	6,3	0,72
9	2,22	6,3	0,72
10	1,93	5,5	0,685
11	2,14	6,1	0,715
12	2,81	8	0,775
13	3,24	9,2	0,8
14	2,99	8,5	0,785
15	3,13	8,9	0,795
16	3,6	10,25	0,82

Определение коэффициентов \bar{K}_T приведено в табл. 7.

Теперь определяем K_T и $\Phi(x)$. Учитывая, что для боковых свай куста $(K_T)_{\max} = 1$, по формуле (17) получаем $K_T = 0,00485$ и при $m = 3$ $\Phi(x) = 0,5$.

Трение прунта на 1 м длины боковой поверхности сваи равно

$$T_2 = 3 \frac{1,77 \cdot 1}{\sqrt{\ln 0,00485}} \cdot 0,5 = 1,09 \text{ т/м.}$$

Несущая способность боковой сваи равна:

$$P_2 = 390 \cdot 0,35 \cdot 0,35 + 1,09 \cdot 10 = 47,7 + 10,9 = 58,6 \text{ т.}$$

УГЛОВАЯ СВАЯ

Определение коэффициентов K_T и K_{σ} дано в табл. 8 и 9.

Определяем K_{σ} и R_1 :

$$K_{\sigma} = 2 (0,076 + 0,034 + 0,0205 + 0,03 + 0,0195 + 0,0175) + 0,0515 + 0,022 + 0,013 = 2 \cdot 0,2475 + 0,0865 = 0,5815;$$

$$R_1 = 246 (1 + 0,5815) = 390 \text{ т/м}^2.$$

Учитывая, что для угловых свай $(K_T)_{\max} = 1$, соответственно табл. 9 $K_T = (K_T)_{\min}$:

$$K_T = (0,48 \cdot 0,69 \cdot 0,79 \cdot 0,71 \cdot 0,795 \cdot 0,82)^2 \cdot 0,565 \cdot 0,765 \cdot 0,84 = 0,0053;$$

$$\Phi(x) = 0,5;$$

$$T_1 = 3 \frac{1,77 \cdot 1}{\sqrt{\ln 0,0053}} \cdot 0,5 = 1,16 \text{ т/м.}$$

Несущая способность угловой сваи равна:

$$P_1 = 390 \cdot 0,35 \cdot 0,35 + 1,16 \cdot 10 = 47,7 + 11,6 = 59,3 \text{ т.}$$

Полная несущая способность всего куста свай равна:

$$P_K = 4 \cdot 59,3 + 8 \cdot 58,6 + 4 \cdot 52,67 = 237,2 + 468,8 + 210,7 = 916,7.$$

$$P_K = 916,7 \text{ т.}$$

Таблица 8

Определение
коэффициентов \bar{K}_G

№ свай, от которых учи- тывается влияние	Расстояние a в м	Расстояние $r = \frac{a}{d}$ в м	Коэффициент \bar{K}_G
2,5	1,05	3	0,076
3,9	2,10	6	0,034
4,13	3,15	9	0,0205
6	1,48	4,25	0,0515
7,10	2,35	6,7	0,03
8,14	3,33	9,5	0,0195
11	2,96	8,5	0,022
12,15	3,78	10,8	0,0175
16	4,47	12,75	0,013

Таблица 9

Определение
коэффициентов \bar{K}_T

№ свай, от которых учи- тывается влияние	Расстояние a в м	Расстояние $r = \frac{a}{d}$ в м	Коэффициент \bar{K}_T
2,5	0,895	2,55	0,48
3,9	1,95	5,55	0,69
4,13	3	8,55	0,79
6	1,225	3,5	0,565
7,10	2,1	6	0,71
8,14	3,1	8,85	0,795
11	2,72	7,75	0,765
12,15	3,53	10,1	0,82
16	4,2	12	0,84

Несущая способность куста из 16 одиночных свай составляет $60 \cdot 16 = 960$ т, т. е. в данном случае за счет совместной работы свай несущая способность сваи в кусте снизилась по сравнению с одиночной сваем на 4,5%.

5. РЕКОМЕНДАЦИИ ПО РАСЧЕТУ НЕСУЩЕЙ СПОСОБНОСТИ КУСТА СВАИ НА ВЕРТИКАЛЬНУЮ НАГРУЗКУ (метод НИИ оснований)

5.1. Несущая способность куста свай P_K рассчитывается по формуле

$$P_K = k t P_{ср}^n n_{св}, \quad (18)$$

где $P_{ср}^n$ — нормативное сопротивление одиночной сваи; при определении по результатам испытаний свай принимается равным среднему из значений несущих способностей одиночных свай; $n_{св}$ — количество свай в кусте;

k — коэффициент однородности несущей способности грунта основания свай, определяемый по формуле

$$K = \frac{\delta_{\text{пред}}}{P_{\text{св. ср}}} \sqrt{\frac{n' + n''}{n' n''}}, \quad (19)$$

где n' — количество свай в свайном фундаменте здания;
 n'' — количество свай, испытанных на площадке¹;

$P_{\text{св. ср}}$ — среднее значение несущей способности сваи на площадке, полученное при испытании;

$\delta_{\text{пред}} = P_{\text{св. ср}} - P_{\text{св. мин}}$ — разница между средним и минимальными значениями несущей способности свай;

m — коэффициент, учитывающий условия работы свай в кусте, определяемый по формуле

$$m = m_1 \left(\frac{7-A}{4} \right) + \left(\frac{A-3}{4} \right), \quad (20)$$

где A — расстояние между осями свай в кусте, принимаемое равным от 3 до $7d$, полагая при $A > 7d$ сваи работают как одиночные;

m_1 — определяется по формулам:

а) для куста свай квадратной формы в плане

$$m_1 = \frac{1 + \beta \frac{3 \sqrt{n_{\text{св}}} - 2}{n_{\text{св}}} \xi}{1 + \xi}; \quad (21)$$

б) для куста свай прямоугольной формы в плане

$$m_1 = \frac{1 + \beta \frac{3(n_1 + n_2) - 4}{2n_1 n_2} \xi}{1 + \xi}; \quad (22)$$

в) для куста свай круглой формы в плане

$$m_1 = \frac{1 + 0,785 \beta \frac{n_a}{n_{\text{св}}} \xi}{1 + \xi}. \quad (23)$$

¹ При определении R_n по табл. 1 и 2 СНиП II-Б.5-67 «Свайные фундаменты. Нормы проектирования» значения R_n и f_n необходимо умножить на поправочный коэффициент 1,2, а значение k принять равным 1.

В формулах (21), (22) и (23) приняты следующие обозначения:

$\xi = \frac{P_{бок}}{P_{ост}}$ — отношение несущей способности грунта по боковой поверхности одиночной сваи к несущей способности грунта под ее острием;

n_1 и n_2 — количество свай, считая по сторонам прямоугольного в плане куста;

n_a — отношение диаметра куста к размеру стороны поперечного сечения сваи;

$n_{св}$ — количество свай в кусте;

β — коэффициент, учитывающий взаимное влияние свай в кусте, определяемый по формуле

$$\beta = 0,5 + 0,2 \frac{B - 25}{25}, \quad (24)$$

где B — относительное заглубление сваи в пределах

$25 \div 50$ равно $\frac{h}{d}$;

h — глубина забивки сваи;

d — сторона поперечного сечения сваи.

При $\frac{h}{d} \leq 25$ $\beta = 0,5$; при $\frac{h}{d} > 50$ $\beta = 0,7$.

6. РЕКОМЕНДАЦИИ ПО ОПРЕДЕЛЕНИЮ НЕСУЩЕЙ СПОСОБНОСТИ ОДНОРЯДНЫХ СВАЙНЫХ ФУНДАМЕНТОВ С РОСТВЕРКОМ НА ГРУНТЕ И ОДИНОЧНЫХ СВАЙ С РОСТВЕРКАМИ ОГОЛОВКАМИ

ОБЩИЕ ПОЛОЖЕНИЯ

6.1. Настоящие рекомендации распространяются на проектирование свайных фундаментов с низким ростверком в глинистых грунтах от мягко-пластичной до твердой консистенции, а также в песчаных грунтах плотных и средней плотности.

6.2. Рекомендации рассматривают следующие случаи напластования грунтов в основании сваи и ростверка:

а) свая прорезает однородный грунт и опирается острием на этот грунт;

б) свая прорезает однородный по прочности слой грунта и опирается острием на другой по прочности слой грунта;

в) часть ствола сваи, расположенная у ростверка, прорезает слой прочного грунта, а остальная часть ствола сваи находится в более слабом грунте.

6.3. Рекомендации разработаны применительно к свайным фундаментам из коротких свай длиной до 7 м при отношении ширины ростверка к диаметру сваи $1,5 \leq \frac{b}{d} \leq 3$.

6.4. Исключается использование низкого ростверка для передачи давления на грунт непосредственно через подошву ростверка при наличии под ростверком насыпного грунта, илов, торфа, просадочных мерзлых и набухающих грунтов.

6.5. Использование ростверка для передачи нагрузки непосредственно на грунт в соответствии с настоящими рекомендациями допускается лишь в случае, когда подошва ростверка закладывается ниже глубины промерзания грунтов или когда грунты основания ростверка в соответствии со СНиП II-Б.1-62* «Основания зданий и сооружений. Нормы проектирования» позволяют принимать глубину заложения фундаментов на естественном основании вне зависимости от глубины промерзания.

РАСЧЕТ СВАЙНОГО РОСТВЕРКА

6.6. Несущая способность свай в однорядном свайном фундаменте с ростверком на грунте, а также забивной висячей сваи с квадратным, прямоугольным или круглым низким ростверком, работающим на осевую сжимающую нагрузку, определяется по формуле

$$R_{св.р} = k m (R_n F + U_p \xi \sum f_i^n l_i), \quad (25)$$

где k — коэффициент однородности грунта, равный $K=0,7$;

m — коэффициент условий работы, принимаемый за 1;

F — площадь опирания на грунт сваи, принимаемая по площади поперечного сечения сваи;

R_n — нормативное сопротивление грунта под нижним концом сваи в t/m^2 , принимаемое по СНиП II-Б.6-67* «Свайные фундаменты. Нормы проектирования»;

U_p — периметр подошвы низкого ростверка, приходящегося на одну сваю, равный $\frac{U}{n}$;

- U — периметр ростверка;
 n — число свай в ростверке;
 ξ — безразмерный коэффициент, позволяющий оценить сопротивление сдвигу грунта основания по боковой поверхности условного заглубленного массива;
 f_i — нормативное сопротивление i -го слоя грунта, соприкасающегося с боковой поверхностью свай, в t/m^2 , определяемое по СНиП II-Б.5-67* «Свайные фундаменты. Нормы проектирования»;
 l_i — толщина i -го слоя грунта в m , соприкасающегося с боковой поверхностью свай.

Значение коэффициента ξ по результатам статических испытаний рядов свай в натуральных условиях может быть принято равным $\xi=0,75$, а в случае одиночных свай с ростверками — оголовками $\xi=0,65$.

7. РАСЧЕТ С ИСПОЛЬЗОВАНИЕМ ЭЦВМ СВАЙНЫХ ФУНДАМЕНТОВ С ВЫСОКИМ ЖЕСТКИМ РОСТВЕРКОМ НА ВЕРТИКАЛЬНУЮ НАГРУЗКУ

ОБЩИЕ ПОЛОЖЕНИЯ

7.1. Программа предназначена для вычисления осадок и кренов свайных фундаментов с высоким жестким ростверком, подверженных действию вертикальной нагрузки с малым эксцентриситетом, и определения реакций свай на ЭЦВМ «НАИРИ».

7.2. По программе может быть рассчитан и свайный фундамент с низким жестким ростверком без учета работы грунта между сваями.

7.3. Построенная методика расчета основывается на том, что нагрузка на сваю не может превышать некоторого предельного значения, которое предлагается считать равным несущей способности свай.

7.4. Исходными данными является информация о нагрузке на ростверк; количество, расположение и геометрические размеры свай, а также параметры, характеризующие работу одиночной сваи и взаимное влияние свай друг на друга.

7.5. Результатами расчета являются величины осадок и кренов ростверка и реакций отпора свай.

7.6. Максимально возможное для расчета количество свай в ростверке — 30.

7.7. Программа может быть использована, если полученные по ней величины осадок и кренов не превосходят допускаемых по СНиП II-Б.1-62* «Основания зданий и сооружений. Нормы проектирования», табл. 10 и 11.

7.8. Порядок заполнения карточки исходных данных, правила пользования программой даны в приложении настоящих рекомендаций. Там же приведена блок-схема программы, сама программа и тест-пример.

7.9. Время подготовки исходной информации на один расчет от 15 до 30 мин. Машинное время от 3 до 15 мин.

8. РАСЧЕТ ОСАДОК ОДНОРЯДНЫХ И МНОГОРЯДНЫХ СВАЙНЫХ ФУНДАМЕНТОВ

8.1. Осадка однорядных и многорядных свайных фундаментов определяется по формуле

$$S = \frac{P}{\pi E_1} (S_1 + S_2) = \frac{P}{\pi E_1} S_0, \quad (26)$$

где S — осадка свайного фундамента в см;

P — погонная нагрузка на свайный фундамент в кг/см; $E_1 = \frac{E}{1-\mu^2}$;

E — модуль деформации грунта в кг/см² (принимается средневзвешенное значение до неподвижной точки с учетом уплотнения грунта под сваями на глубину до 3 диаметров);

S_0 — определяется в зависимости от приведенной глубины активной зоны Z_0/l (z_0 — глубина активной зоны; l — длина свай), приведенной ширины фундамента $\beta = b/l$, где b — ширина фундамента, коэффициента бокового расширения грунта μ и характера передачи нагрузки по боковой поверхности и в плоскости острия (табл. 10 и номограмма на рис. 5).

В настоящих рекомендациях приведены значения S_0 для $\mu = 0,35$ при равномерном распределении сил трения по боковой поверхности и равномерном распределении на-

Таблица 10

Значения S_2 в зависимости от Z_0/l при $\mu=0,35$

z_0/l	β							
	0,05	0,10	0,15	0,20	0,25	0,30	0,35	0,40
	S_1							
	1,401	1,310	1,230	1,153	1,076	0,999	0,922	0,845
	S_2							
1,1	-0,813	-0,815	-0,778	-0,728	-0,672	-0,613	-0,553	-0,492
1,2	-0,411	-0,437	-0,435	-0,417	-0,387	-0,351	-0,309	-0,264
1,3	-0,119	-0,146	-0,154	-0,150	-0,134	-0,114	-0,087	-0,054
1,4	0,118	0,093	-0,082	0,080	0,086	0,098	0,117	0,140
1,5	0,319	0,298	0,286	0,281	0,283	0,290	0,302	0,319
1,6	0,497	0,478	0,466	0,461	0,460	0,464	0,472	0,484
1,7	0,657	0,639	0,628	0,622	0,620	0,622	0,627	0,636
1,8	0,803	0,786	0,776	0,770	0,767	0,767	0,771	0,777
1,9	0,937	0,922	0,912	1,906	0,903	0,902	0,904	0,909
2,0	1,062	1,048	1,039	1,033	1,029	1,028	1,029	1,032
2,1	1,178	1,165	1,157	1,151	1,146	1,145	1,146	1,148
2,2	1,288	1,275	1,267	1,262	1,256	1,256	1,256	1,257
2,3	1,391	1,380	1,372	1,366	1,382	1,360	1,360	1,361
2,4	1,489	1,478	1,471	1,465	1,461	1,459	1,458	1,459
2,5	1,582	1,572	1,565	1,599	1,556	1,553	1,552	1,553
2,6	1,671	1,661	1,664	1,649	1,645	1,643	1,642	1,642

пряжений в плоскости острия сваи. При небольшом интервале изменения β граница активной зоны принимается на глубине, где $S_2 \approx S_1$.

Пример расчета

Рассчитать осадку трехрядного свайного фундамента под внутреннюю стену 5-этажного кирпичного здания. Сваи сечением 30×30 , длиной 7 м, расстояние между сваями $S=90$ см. Ширина свайного фундамента $b=2,1$ м, нагрузка на сваю $P=15$ т. Напластование грунтов следующее:

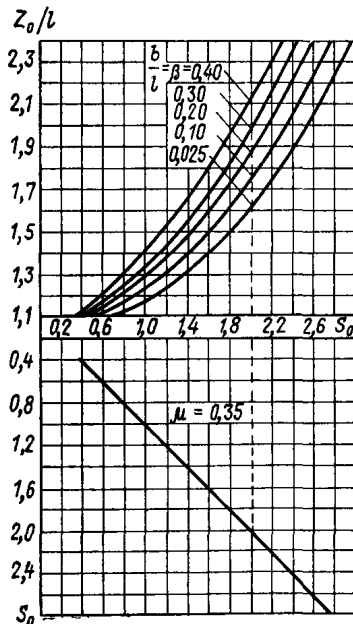


Рис. 5. Номограмма для определения значений Z_0/l

1) песок мелкозернистый, средней плотности, мощностью $h_1 = 1,4$ м, модуль деформации $E = 180$ кг/см²;

2) супесь мягко- и текуче-пластичная, мощностью $h_2 = 2,6$ м, модуль деформации $E_2 = 50$ кг/см²;

3) суглинок мягко-пластичный, мощностью $h = 11$ м, модуль деформации $E = 80$ кг/см².

С глубины 18 м залегает плотный аргеллит. В уплотненной зоне под сваями $h_{упл} = 0,9$ м (среднее значение модуля деформации $E_{упл} = 340$ кг/см²).

Для решения определяем:

1. Приведенную ширину свайного фундамента $\beta = b/l = 2,1/7 = 0,3$.

2. Приведенную глубину активной зоны. По данным $\beta = 0,3$ и $\mu = 0,35$ находим в табл. 10, что S_2 примерно равно S_1 при $z_0/l = 2$, т. е. граница активной зоны находится на глубине 7 м ниже плоскости острия свай.

3. Компоненту перемещения S_0 .

Из соответствующего значения $z_0/l = 2$ (см. номограмму) проводится линия, параллельная оси абсцисс, до пересечения с линией приведенной ширины фундамента $\beta = b/l = 0,3$ и опускается перпендикуляр до линии коэффициента бокового расширения $\mu = 0,35$. Из точки пересечения проводится линия, параллельная оси абсцисс, до пересечения с осью ординат, на которой определяем значение $S_0 = 2,03$.

4. Средневзвешенное значение модуля деформации до нижней границы активной зоны

$$E_{\text{ср}} = \frac{E_1 h_1 + E_2 h_2 + E_{\text{упл}} h_{\text{упл}} + E_3 h_3}{h_1 + h_2 + h_{\text{упл}} + h_3} =$$
$$= \frac{180 \cdot 1,4 + 50 \cdot 2,6 + 340 \cdot 0,9 + 80 \cdot 9,1}{1,4 + 2,6 + 0,9 + 9,1} = 101 \text{ кг/см}^2;$$

$$E_1 = \frac{E_{\text{ср}}}{1 - \mu^2} = \frac{101}{0,877} = 114 \text{ кг/см}^2.$$

5. Погонную нагрузку на свайный фундамент

$$\frac{P \cdot 3}{C} = \frac{15\,000 \cdot 3}{90} = 500 \text{ кг/см.}$$

6. Осадку свайного фундамента

$$S = \frac{P}{\pi E_1} = \frac{500}{3,14 \cdot 114} \cdot 2,03 = 0,296 \text{ см.}$$

9. РАСЧЕТ ОДИНОЧНОЙ СВАИ НА СОВМЕСТНОЕ ДЕЙСТВИЕ ВЕРТИКАЛЬНЫХ И ГОРИЗОНТАЛЬНЫХ НАГРУЗОК

ОБЩИЕ ПОЛОЖЕНИЯ

9.1. Настоящие рекомендации составлены в развитие глав СНиП II-A.10-62 «Строительные конструкции и основания. Основные положения проектирования»; СНиП II-B.1-62 «Основания зданий и сооружений. Нормы проектирования»; СНиП II-B.5-67 «Свайные фундаменты. Нормы проектирования» и распространяются на расчет одиночных, отдельно стоящих горизонтально нагруженных забивных свай и свай, подверженных совместному действию вертикальных и горизонтальных нагрузок.

Примечания: 1. Рекомендации не распространяются на расчет кустов и одиночных свай, заделанных в ростверк, а также свайных конструкций, возводимых в сейсмических районах, на вечномерзлых и просадочных грунтах.

2. Под забивными сваями понимаются сваи, погружаемые ударным методом, вдавливанием и вибровдавливанием.

9.2. Расчету по разделу 2 подлежат сваи, подверженные совместному действию вертикальных и горизонтальных нагрузок и погруженные в однородное грунтовое основание на глубину более $30d$ (d — диаметр или поперечная сторона сваи).

9.3. Расчету по разделу 3 подлежат сваи, подверженные совместному действию вертикальных и горизонтальных нагрузок и заглубленные в однородное и неоднородное основание на глубину не более $10d$.

9.4. К неоднородным грунтам относятся песчаные грунты, различающиеся в пределах глубины погружения сваи по своей крупности, и глинистые грунты с показателем консистенции B , изменяющимся с глубиной более чем на $0,2B$. При изменении менее чем $0,2B$ грунты следует относить к однородным.

9.5. Величины нормативных коэффициентов пропорциональности грунта K_n определяются по данным геологического бурения в зависимости от консистенции глинистого грунта или крупности песчаного грунта. При этом толщина слоев назначается в зависимости от глубины отбора монолитов.

Толщина первого слоя грунта принимается равной расстоянию от поверхности грунта до середины интервала между местом отбора первого и второго монолитов (проб), толщина последнего слоя грунта принимается равной расстоянию от середины интервала между последним и предпоследним монолитами (пробами) в пределах глубины погружения сваи до нижнего конца сваи. Толщина промежуточных слоев грунта устанавливается равной расстоянию от середины предыдущего интервала между местами отбора монолитов (проб) до середины последующего интервала.

9.6. Рекомендации по расчету горизонтально нагруженных свай и свай, подверженных совместному действию вертикальных и горизонтальных нагрузок, применимы для расчета свайных опор под трубопроводы и эстакады, линий электропередачи, опор контактной сети, свайных фундаментов под теплообменные аппараты и горизонтальные емкости нефтехимических и нефтеперерабатывающих заводов, а также подпорных стенок, опор транспортных галерей и т. п.

9.7. Сваи и свайные фундаменты из одиночных отдельно стоящих свай, подверженные действию горизонтальных и вертикальных нагрузок, и их основания рассчитываются по трем предельным состояниям:

а) расчету по первому предельному состоянию (по прочности) подвергаются сваи и свайные фундаменты на усилия от действующих расчетных нагрузок;

б) расчету по второму предельному состоянию (по деформациям) подлежат основания свай и свайных фундаментов на усилия от действующих нормативных горизонтальных и вертикальных нагрузок с учетом нормативных характеристик грунта;

в) расчету по третьему предельному состоянию (по трещиностойкости) подлежат железобетонные сваи на усилия от действующих нормативных нагрузок.

9.8. Сбор нагрузок, действующих на сваю или свайный фундамент, производится в соответствии со статической схемой данной конструкции. При расчете оснований неразрезных и рамных конструкций сбор нагрузок допускается производить без учета перемещений элементов конструкций, вызываемых осадками или горизонтальными перемещениями основания и без учета неразрезности конструкций.

**РАСЧЕТ ОДИНОЧНЫХ ГИБКИХ СВАЙ
НА ГОРИЗОНТАЛЬНУЮ НАГРУЗКУ С УЧЕТОМ ВЛИЯНИЯ
ВЕРТИКАЛЬНОЙ СИЛЫ В УСЛОВИЯХ ОДНОРОДНОЙ
ГРУНТОВОЙ СРЕДЫ**

9.9. Настоящие предложения распространяются на расчет длинных свай, заглубленных в однородное основание на глубину более $30d$ (рис. 6).

9.10. Расчет свай по первому предельному состоянию производится из условия

$$M_{\text{макс}} \leq M_p \quad (27)$$

где $M_{\text{макс}}$ — максимальный изгибающий момент в сечении сваи, возникающий от расчетных нагрузок, в т·м;

M_p — расчетный изгибающий момент, воспринимаемый сечением сваи, в т·м, определяемый по СНиП II-V.1-62* «Основания зданий и сооружений. Нормы проектирования» или из табл. 11 и 12.

9.11. Максимальный изгибающий момент, возникающий в свае от расчетных нагрузок, определяется из выражения

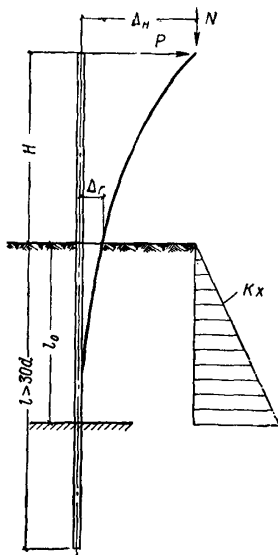


Рис. 6. Расчетная схема

$$M_{\text{макс}} = P_p \left(H + \frac{\pi t_m}{2 \alpha} \right) + N_p (\Delta_H + \Delta_r \alpha H) + N_p \Delta_r \sin \frac{\pi t_m}{2} - 16,8 \frac{Kd}{\alpha^3} \omega_{\Delta_r} F_1, \quad (28)$$

где Δ_r — перемещение сваи от расчетных нагрузок на уровне поверхности грунта, определяемое графо-аналитически, п. 9.15;

Таблица 11

Значения расчетного изгибающего момента M_p для свай
прямоугольного сечения

Диаметр рабочей арматуры класса А-II ₁ в мм	M_p в тм			
	Для свай (марки 300) сечением в см			
	Защитный слой в см			
	4	4	4,5	5
	2	3	4	5
12	1	1,4	—	—
14	1,4	1,8	2,3	—
16	1,8	2,4	2,8	3,3
18	2,3	3,0	3,5	4,1
20	2,8	3,75	4,5	5,1
22	3,5	4,5	5,5	6,1
24	4,1	5,2	6,5	7,2
26	4,8	6,2	7,6	8,6
28	—	7,8	8,6	10
30	—	—	9,7	11,3
32	—	—	—	12,9
34	—	—	—	16,6
36	—	—	—	14,6

Таблица 12

Значения расчетного изгибающего момента M_p
для трубчатых свай

Диаметр рабочей арматуры класса А-II в мм	M_p в тм			
	Для трубчатых свай (марки 300) диаметром в см			
	Количество стержневой рабочей арматуры			
	8	10	12	15
	Толщина стенки в см			
8	10	10	12	
12	3,8	7,7	13	20
14	5	10	17,5	27,2
16	6,4	13,1	22,5	35,5
18	8	16,2	37	45
20	9,7	19,7	33,4	53,3
22	11,7	23,4	39,5	62,9
24	—	27,3	46,1	73,3
26	—	—	52,8	85,5
28	—	—	—	97,8

Δ_H — перемещение сваи на высоте H от расчетных нагрузок, определяемое по выражению

$$\Delta_H = \frac{PH^3}{3EJ} \left(1 + \frac{2}{5} \cdot \frac{NN^2}{EJ} \right); \quad (29)$$

- P_p и N_p — расчетные вертикальные и горизонтальные нагрузки на сваю, передаваемые сооружением, в т;
 H — высота приложения нагрузки над поверхностью грунта в м;
 K — коэффициент пропорциональности грунта, определяемый из табл. 13;

Таблица 13

Значения коэффициента K

Глинистые грунты консистенции B	Коэффициент K в т/м ²	Песчаные грунты средней плотности	Коэффициент K в т/м ²
0	65	Крупные пески	110
0,1	45		
0,2	35		
0,3	30	Пески средней крупности	50
0,4	25		
0,5	22	Мелкие пески	40
0,6	19		
0,7	15	Пылеватые пески	35

EJ — жесткость сечения сваи в тм², определяемая согласно табл. 14 и 15;

t_m — безразмерная ордината сечения с максимальным изгибающим моментом, равная $t_m = \frac{X_m}{l_0}$ (X_m — глубина расположения сечения с максимальным изгибающим моментом от поверхности грунта в м;

l_0 — глубина расположения условной заделки сваи в грунте в м;

F^1 — тригонометрическая функция, определяемая из графика на рис. 7 в зависимости от величины t_m .

9.12. Безразмерная ордината сечения с максимальным изгибающим моментом определяется из графика

на рис. 7 в зависимости от величины F_{2m} , определяемой из выражения

$$F_{2m} = 0,03 \frac{\alpha^2 (N_p \Delta_r \alpha + 2 P_p)}{K d \omega_{\Delta_r}}, \quad (30)$$

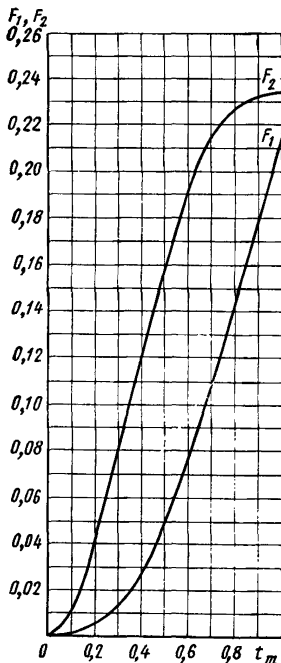


Рис. 7. Графики функций F_{1m} и F_{2m}

где $\alpha = \frac{\pi}{2l_0}$;

ω_{Δ_r} — линейная характеристика сваи, определяемая из графика на рис. 8 при $H=0$;

d — диаметр или сторона сваи, перпендикулярная направлению действия горизонтальной силы, в м.

9.13. Глубина расположения условной заделки сваи определяется по формуле

$$l_0 = l \xi, \quad (31)$$

Таблица 14

Значение EJ для прямоугольных свай

Диаметр рабочей арматуры класса А-II в мм	EJ в тм ³			
	Для свай (марки 300) сечением в см			
	25×25	30×30	35×35	40×40
	Защитный слой в см			
	4	4	4,5	5
12	150	230	—	—
14	190	310	450	—
16	230	380	560	750
18	280	470	690	930
20	320	550	810	1120
22	370	630	940	1130
24	410	710	1070	1490
26	450	790	1190	1680
28	—	870	1320	1880
30	—	—	1450	2070
32	—	—	1590	2270
34	—	—	—	2470
36	—	—	—	—

Таблица 15

Значение EJ для трубчатых свай

Диаметр рабочей арматуры класса А-II в мм	EJ в тм ³			
	40	60	80	100
	Количество стержневой рабочей арматуры			
	8	10	12	15
	Толщина стенки в см			
8	10	10	12	
12	550	1500	4 100	8 400
14	670	2000	51 000	10 300
16	810	2600	6 400	12 600
18	950	3200	7 800	15 500
20	1090	3900	9 300	18 800
22	1230	4700	10 700	22 000
24	—	5500	12 200	25 600
26	—	—	13 800	29 000
28	—	—	—	32 600

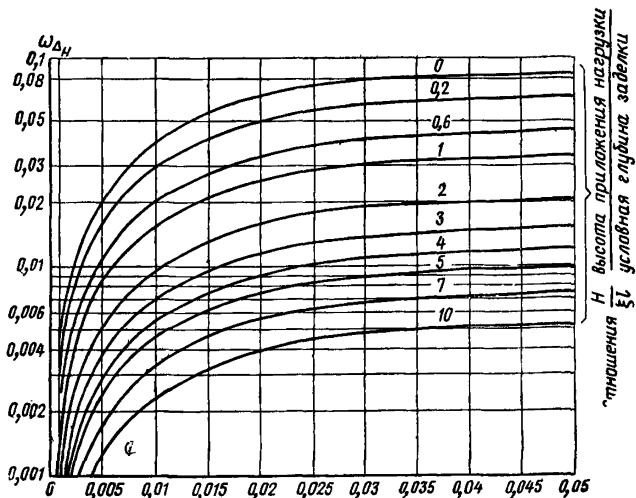


Рис. 8. График функций $\omega\Delta_H$

где l — глубина погружения сваи в м;
 ξ — безразмерный коэффициент, определяемый из
 графика на рис. 9 в зависимости от отношения
 $\frac{EJ\Delta_r}{Kd}$.

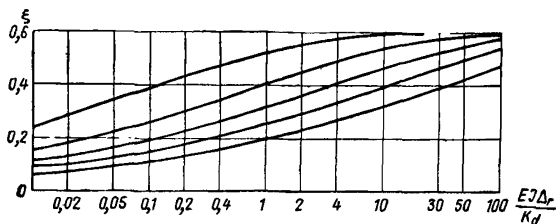


Рис. 9. График функции ξ

9.14. Расчет свай, подверженных совместному действию вертикальных и горизонтальных нагрузок по второму предельному состоянию (по деформациям), производится из условия

$$\Delta_r^H \leq \Delta_{r.пр}, \quad (32)$$

где Δ_r^H — предельная величина горизонтального перемещения сваи в уровне поверхности грунта в *м*, задаваемая в проекте;

$\Delta_{г.пр}$ — предельно допустимое перемещение верха сваи в *м*.

9.15. Горизонтальное перемещение в уровне поверхности грунта Δ_r^H от нормативной горизонтальной нагрузки P_n с учетом влияния вертикальной нормативной нагрузки N_n определяется графо-аналитически. Для этого, задаваясь возможными перемещениями Δ_r , по выражению (33) вычисляются соответствующие им нагрузки

$$P_n = \frac{\frac{EJ}{l_0^3} + \frac{K d l_0^2}{1,4} - \frac{N_n}{l_0} \left(\frac{\pi H}{4 l_0} + 1 \right)}{1 + 1,5 \frac{H}{l_0} + \frac{N_n H^3}{2 E J l_0} \left(1 + \frac{2 N_n H^3}{5 E J} \right)} \omega_{\Delta_r}. \quad (33)$$

По данным расчета строится график нагрузка — перемещение, по которому определяется горизонтальное перемещение в уровне поверхности грунта от заданной нормативной нагрузки.

9.16. Перемещение верха сваи определяется по формуле (34)

$$\Delta_H^H = \Delta_r^H \left(1 + \frac{\pi H}{2 l_0} \right) + \frac{P_n H^3}{3 E J} \left(1 + \frac{2}{5} \cdot \frac{N_n H^3}{E J} \right). \quad (34)$$

Примеры расчета

Расчитать железобетонную сваю, подверженную совместному действию вертикальных и горизонтальных нагрузок.

Исходные данные:

$P_n = 0,5$ т; грунты: глина консистенции $B = 0,1$; $N_n = 20$ т; допустимое перемещение верха сваи $H = 2,5$ м; $\Delta_H^H = 0,05$ м; $l = 6$ м; сечение сваи 30×30 см.

Задаемся армированием сваи $4\varnothing 14$ мм класса А-II и маркой бетона 300. Согласно табл. 8 определяем расчетный изгибающий момент для данной сваи //

$$M_p = 1,8 \text{ тм}$$

и жесткость сечения по табл. 11 равную:

$$EJ = 310 \text{ тм}^2.$$

Из табл. 13 для данных грунтовых условий находим коэффициент податливости грунта

$$K = 45 \text{ т/м}^4.$$

Задаваясь несколькими значениями перемещений в уровне поверхности грунта, например $\Delta_r^H = 0,005$ м; $\Delta_r^H = 0,01$ м и $\Delta_r^H =$

$=0,02$ м, по формуле (33) строим график нагрузка — перемещение. Для этого построения необходимо выполнить следующие вычисления.

1. Находим численные значения отношений, соответствующие заданным перемещениям Δ_r , а именно:

$$\text{для } \Delta_r = 0,005 \text{ м; } A = \frac{EJ}{Kd} \Delta_r = \frac{310 \cdot 0,01}{45 \cdot 0,3} = 0,228^*;$$

$$\text{» } \Delta_r = 0,01 \text{ м; } A = \frac{310 \cdot 0,01}{45 \cdot 0,3} = 0,228;$$

$$\text{» } \Delta_r = 0,02 \text{ м; } A = \frac{310 \cdot 0,02}{45 \cdot 0,3} = 0,456.$$

2. По полученным значениям из графика на рис. 9 находим значения коэффициентов ξ соответственно для принятых перемещений:

$$\xi_{0,005} = 0,27; \quad \xi_{0,01} = 0,27; \quad \xi_{0,02} = 0,3.$$

3. По выражению (31) находим значения

$$l_0 = 0,27 \cdot 6 = 1,62 \text{ м;}$$

$$l_0 = 0,27 \cdot 6 = 1,62 \text{ м;}$$

$$l_0 = 0,3 \cdot 6 = 1,8 \text{ м.}$$

Соответственно находим ω_{Δ_r} при $H=0$ (рис. 8) $\omega_{\Delta_r}^{0,005} = 0,021$;
 $\omega_{\Delta_r}^{0,01} = 0,039$; $\omega_{\Delta_r}^{0,02} = 0,065$.

Подставляя полученные значения величин в формулу (33), находим значения горизонтальных нагрузок, вызывающих заданные перемещения с учетом вертикальной нагрузки:
 при $\Delta_r = 0,05$ м

$$P = \frac{\frac{310}{4,35} + \frac{45 \cdot 0,3 \cdot 2,62}{1,4} - \frac{20}{1,62} \left(\frac{3,14 \cdot 2,5}{4 \cdot 1,62} + 1 \right)}{1 + 1,5 \frac{2,5}{1,62} + \frac{20 \cdot 15,62}{2 \cdot 310 \cdot 1,62} \left(1 + \frac{2 \cdot 20 \cdot 6,25}{5 \cdot 310} \right)} \cdot 0,021 =$$

$$= 0,395 \text{ т;}$$

при $\Delta_r = 0,01$

$$P = \frac{\frac{310}{4,35} + \frac{45 \cdot 0,3 \cdot 2,62}{1,4} - \frac{20}{1,62} \left(\frac{3,14 \cdot 2,5}{4 \cdot 1,62} + 1 \right)}{1 + 1,5 \frac{2,5}{1,62} + \frac{20 \cdot 15,62}{2 \cdot 310 \cdot 1,62} \left(1 + \frac{2 \cdot 20 \cdot 6,25}{5 \cdot 310} \right)} \cdot 0,039 = 0,73 \text{ т.}$$

По полученным данным строим график нагрузка — перемещение (рис. 10), из которого находим горизонтальные перемещения, вызван-

* Для перемещений $\Delta_r \leq 0,01$ м значение l_0 , а следовательно, и отношение $\xi = \frac{l_0}{l}$ необходимо принимать постоянным и равным значению l_0 при $\Delta_r = 0,01$ м.

ные расчетной и нормативной горизонтальными нагрузками. Нормативной нагрузке, равной $P_H=0,5$ т, соответствует перемещение $\Delta_H^H=0,0068$ м; расчетной нагрузке, равной $P=1,2P_H=0,6$ т (где 1,2 — коэффициент перегрузки), соответствует перемещение $\Delta_H=0,0083$ м; $N_P \parallel 1,2 N_H=24$ т.

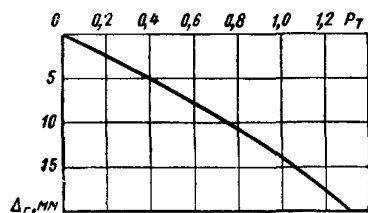


Рис. 10. График нагрузка — перемещение

Зная перемещение сваи от нормативной нагрузки P_H в уровне поверхности грунта, по формуле (34) определяем горизонтальное перемещение верха сваи

$$\begin{aligned} \Delta_H^H &= \Delta_r \left(1 + \frac{\pi H}{2 l_0} \right) + \frac{P_H H^3}{3 E J} \left(1 + \frac{2}{5} \cdot \frac{N_H H^2}{E J} \right) = \\ &= 0,0068 \left(1 + \frac{3,14 \cdot 2,5}{2 \cdot 1,62} \right) + \frac{0,5 \cdot 2,5^3}{3 \cdot 310} \left(1 + \frac{2}{5} \cdot \frac{20 \cdot 2,5^2}{5 \cdot 310} \right) = \\ &= 0,0322 \text{ м.} \end{aligned}$$

Полученное перемещение верха сваи не превышает перемещения, допустимого в проекте

$$\Delta_H^H = 0,0322 \text{ м} \leq \Delta_{H \text{ пр}} = 0,05 \text{ м.}$$

Далее производим проверку сваи по первому предельному состоянию (по прочности материала) согласно (29). При этом расчет производится на расчетные нагрузки.

Для этого сначала найдем перемещение от расчетных нагрузок

$$\Delta_H = \frac{0,6 \cdot 15,52}{3 \cdot 310} \left(1 + \frac{2 \cdot 24 \cdot 6,25}{5 \cdot 310} \right) = 0,012 \text{ м;}$$

$$\alpha = \frac{\pi}{2 l_0} = \frac{3,14}{2 \cdot 1,62} = 0,97;$$

$$F_{2m} = 0,03 \frac{0,97^2 (24 \cdot 0,0083 + 2 \cdot 0,6)}{45 \cdot 0,3 \cdot 0,035} = 0,084;$$

По графику на рис. 7 находим значение ординаты t_m и функцию F_1 ; $t_m=0,32$; $F_1=0,016$.

Подставляя полученные значения в формулу (28), находим

$$\begin{aligned} M_{\text{макс}} &= 0,6 \left(2,5 + \frac{3,14 \cdot 0,32}{2 \cdot 0,97} \right) + 24 (0,012 + 0,0083 \cdot 0,97 \cdot 2,5) + \\ &+ 24 \cdot 0,0083 \cdot \sin \frac{180 \cdot 0,32}{2} - 16,8 \frac{45 \cdot 0,3}{0,97^3} \cdot 0,035 \cdot 0,016 = \\ &= 0,6 (2,5 + 0,5) + 24 (0,012 + 0,02) + 0,956 - 1,35 = 2,174 \text{ т.} \end{aligned}$$

Следовательно:

$$M_{\text{макс}} = 2,174 \text{ тм} > M_p = 1,8 \text{ тм},$$

что не удовлетворяет формуле (27) и сваю следует пересчитать, изменив при этом процент армирования или сечение сваи.

РАСЧЕТ ЖЕСТКИХ СВАИ НА СОВМЕСТНОЕ ДЕЙСТВИЕ ВЕРТИКАЛЬНЫХ И ГОРИЗОНТАЛЬНЫХ НАГРУЗОК В УСЛОВИЯХ НЕОДНОРОДНОЙ ГРУНТОВОЙ СРЕДЫ

9.17. Расчет свай и свайных фундаментов из одиночных свай, подверженных действию вертикальных и горизонтальных нагрузок, погруженных в неоднородные грунты на глубину не более $10d$, по первому предельному состоянию производится из условия

$$M_{\text{макс}} \leq M_{\text{рас}}, \quad (35)$$

где $M_{\text{макс}}$ — максимальный изгибающий момент в свае-колонне при расчетных нагрузках;

$M_{\text{рас}}$ — расчетный изгибающий момент, воспринимаемый сечением (СНиП II-V.1-62* «Основания зданий и сооружений. Нормы проектирования» или по табл. 11 и 12).

9.18. Максимальный изгибающий момент, возникающий в свае или свае-колонне от расчетных вертикальных и горизонтальных нагрузок, определяется путем построения эпюры изгибающих моментов по длине сваи в пределах заглубленной ее части по формуле

$$\begin{aligned} M_x^p &= M_{i-1}^p + Q_{i-1}^p (X_i - X_{i-1}) + \\ &+ \left(N^p + \frac{H+X}{2} \gamma_c^p (H+X) \Theta - \right. \\ &\quad \left. - \frac{d\lambda}{l_0} K_i [6 X_i l_0 (X_i^2 - X_{i-1}^2) - \right. \\ &\quad \left. - 4 (l_0 + X_i) (X_i^3 - X_{i-1}^3) + 3 (X_i^4 + X_{i-1}^4) \right], \quad (36) \end{aligned}$$

где M_x^p — расчетный изгибающий момент, возникающий в свае или свае-колонне в любом сечении i -го слоя грунта, определяемого интервалом $X_{i-1} < X \leq X_i$;

M_{i-1} — то же, на нижней границе $i-1$ -го слоя в тм;

X_{i-1} — расстояние от поверхности грунта до нижней границы $i-1$ -го слоя в м;

K_i — коэффициент пропорциональности грунта в пределах i -го слоя в T/M^4 , определяемый из табл. 15;

Q_{i-1} — поперечная сила на нижней границе i -го слоя в T ;

H — высота приложения вертикальной нагрузки над поверхностью грунта в T ;

N_p — расчетная вертикальная нагрузка на сваю или сваю-колонну в T ;

γ_c — расчетный вес 1 пог. м сваи или сваи-колонны в T ;

Θ — угол поворота сваи в грунте, определяемый из выражения

$$\Theta = \frac{\Delta_r}{l_0}, \quad (37)$$

где Δ_r — горизонтальное перемещение сваи в уровне поверхности грунта в M ;

d — диаметр или поперечный размер прямоугольной сваи;

l_0 — глубина расположения точки поворота сваи в грунте в M , определяемая из выражения

$$l_0 = \frac{Q_0 \left[3 \Sigma_4 - \frac{3}{25 d} (2N + P_c) (H + l) \right] + 4 M_0 \Sigma_3}{4 Q_0 \Sigma_3 + 6 M_0 \Sigma_2}, \quad (38)$$

где P_c — расчетный вес сваи или сваи-колонны в T ;

l — глубина погружения сваи в M ;

Q_0 и M_0 — поперечная сила и изгибающий момент в уровне поверхности грунта от расчетных нагрузок соответственно в T и TM ;

$\Sigma_2, \Sigma_3, \Sigma_4$ — коэффициенты влияния слоев, определяемые из выражений:

$$\Sigma_2 = K_n X_n^2 - \sum_{i=1}^{i=n} (K_i - K_{i-1}) X_{i-1}^2; \quad (39)$$

$$\Sigma_3 = K_n X_n^3 - \sum_{i=1}^{i=n} (K_i - K_{i-1}) X_{i-1}^3; \quad (40)$$

$$\Sigma_4 = K_n X_n^4 - \sum_{i=1}^{i=n} (K_i - K_{i-1}) X_{i-1}^4, \quad (41)$$

где K_n — коэффициент пропорциональности последнего слоя грунта;

X_n — расстояние от поверхности грунта до нижней границы последнего слоя, равное l .

9.19. Поперечная сила, возникающая в сечении сваи или сваи-колонны на нижней границе $i-1$ -го слоя, определяется из выражения¹

$$Q_{i-1} = Q_{i-2} - \frac{2d\lambda}{l_0} K_{i-1} [3l_0 (X_{i-1}^2 - X_{i-2}^2) - 2(X_{i-1}^3 - X_{i-2}^3)]. \quad (42)$$

9.20. Величина угла поворота сваи или сваи-колонны в грунте — Θ определяется по формуле (37).

Горизонтальное перемещение сваи или сваи-колонны определяется из графика на рис. 11 в зависимости от значения коэффициента B , C и D :

$$B = \frac{1}{2(M_0^H + Q_0^H l) l_0}; \quad (43)$$

$$C = \frac{25d}{108} [6ll_0 \Sigma_2 - 4(l + l_0) \Sigma_3 + 3 \Sigma_4] B; \quad (44)$$

$$D = (2N_H + P_c^H)(H + l) B. \quad (45)$$

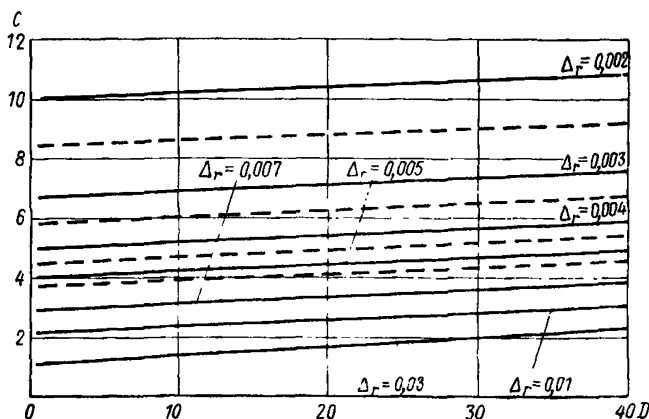


Рис. 11. График определения Δ_r

¹ Для проверки результатов расчета рекомендуется построение эпюры поперечных сил. При этом поперечная сила, возникающая в свае в любом сечении X_i -го слоя грунта, определяемого интервалом $X_{i-1} < X < X_i$, рассчитывается по формуле

$$Q_x = Q_{i-1} - \frac{2d\lambda}{l_0} K_i [3l_0 (X_i^2 - X_{i-1}^2) - 2(X_i^3 - X_{i-1}^3)]. \quad (42a)$$

По вычисленному значению Δ_r определяется значение коэффициента λ , входящего в выражения (36), (41) и (4а), из графика на рис. 12.

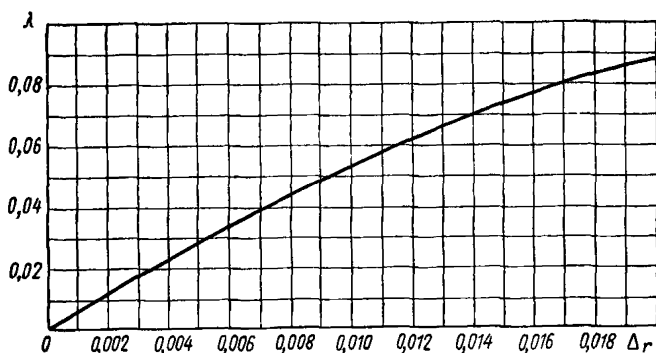


Рис. 12. График определения коэффициента λ

Примечание. При расчете свай и свай-колонн по первому предельному состоянию можно воспользоваться аналитическим выражением для максимального изгибающего момента, возникающего в свае от действующих расчетных вертикальных и горизонтальных нагрузок:

$$\begin{aligned}
 M_{\max}^p &= M_{i-1}^p + Q_{i-1}^p (X_m - X_{i-1}) + \\
 &+ \left(N_p + \frac{H + X_m}{2} \gamma_c^p \right) (H + X_m) \theta - \\
 &- \frac{d\lambda}{l_0} K_t [6 X_m l_0 (X_m^2 - X_{i-1}^2) - \\
 &- 4 (l_0 + X_m) (X_m^3 - X_{i-1}^3) + 3 (X_m^3 - X_{i-1}^3)], \quad (46)
 \end{aligned}$$

где X_m — ордината сечения с максимальным изгибающим моментом в м.

Для определения X_m необходимо, воспользовавшись выражением (42а), определить слой i , в котором эпюра Q_x меняет свой знак, т. е. $Q_{i-1} > 0 > Q_i$.

Тогда ордината X_m определяется из выражения (46), решаемого путем подбора:

$$\frac{l_0 Q_{i-1}}{2d\lambda K_t} - [3 l_0 (X_m^2 - X_{i-1}^2) - 2 (X_m^3 - X_{i-1}^3)] = 0. \quad (47)$$

При проектировании и расчете свай и свай-колонн, имеющих относительно небольшое заглубление в грунт,

эпюра может менять свой знак в первом, втором и редко в третьем слоях грунта.

Если эпюра Q_x имеет нулевое значение в первом слое или в случае однослойного основания, уравнение (13) для этого случая принимает вид

$$\frac{l_0 Q_0}{2 d \lambda K_1} - (3 l_0 X_m^2 - 2 X_m^3) = 0, \quad (48)$$

где K_1 — коэффициент пропорциональности грунта для первого слоя.

Если Q_x меняет свой знак во втором слое, ордината X_m определяется из выражения (47)

$$\frac{l_0 Q_1}{2 d \lambda K_2} - [3 l_0 (X_m^2 - X_1^2) - 2 (X_m^3 - X_1^3)] = 0. \quad (49)$$

9.21. Расчет свай и свай-колонн по второму предельному состоянию производится из условия

$$\Delta_{\Gamma}^H \leq \Delta_{\Gamma, \text{пр}}, \quad (50)$$

где Δ_{Γ}^H — горизонтальное перемещение сваи или свай-колонны в уровне поверхности грунта, вызываемое действующими нормативными нагрузками, в m ;

$\Delta_{\Gamma, \text{пр}}$ — предельно допустимое горизонтальное перемещение свай или свай-колонны в уровне поверхности грунта в m , задаваемое в проекте.

9.22. Горизонтальное перемещение сваи или свай-колонны Δ_{Γ}^H определяется по графику, изображенному на рис. 11, в зависимости от величин $B_{\text{н}}$, $C_{\text{н}}$, $D_{\text{н}}$ с учетом действующих нормативных нагрузок.

9.23. Если конструктивные особенности сооружения требуют ограничения горизонтального перемещения свай-колонны в верхней ее части, расположенной на высоте H от поверхности грунта, следует эти перемещения определить по формуле

$$\Delta_H^H = (H + l_0) \frac{\Delta_{\Gamma}^H}{l_0}, \quad (51)$$

удовлетворяя при этом условию

$$\Delta_H^H \leq \Delta_{H, \text{пр}}. \quad (52)$$

Примеры расчета

Пример 1

Рассчитать железобетонную сваю-колонну на совместное действие горизонтальных и вертикальных нагрузок, а также изгибающего момента при данных, сведенных в табл. 16, а также соответствующих рис. 13.

Таблица 16

Значения нормативных нагрузок

Вид нагрузки	Величины нагрузки в т и тм	Высота приложения нагрузки в м
Горизонтальная нагрузка	0,64	$H = 2,4$
Вертикальная »	12	$H = 2,4$
Изгибающий момент	0,756	$H = 1,2$

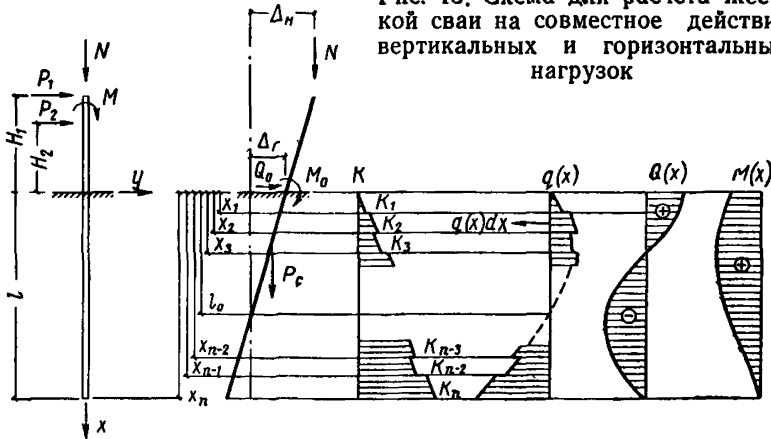


Рис. 13. Схема для расчета жесткой сваи на совместное действие вертикальных и горизонтальных нагрузок

Грунтовые условия

Лабораторные исследования монолитов показали, что на месте предстоящего погружения сваи залегают глинистые грунты различной консистенции (см. табл. 17).

Таблица 17

Расчетные характеристики

№ слоя	Расчет от поверхности земли		Толщина слоя в м	Наименование грунтов	Консистенция	Коэффициент пропорциональности K_f в т/м ³
	до верхней границы слоя	до нижней границы слоя				
1	0	0,7	0,7	Глинистый	0,4	25
2	0,7	1,9	1,2	»	0,4	45
3	1,9	3,2	1,3	»	0,03	65

*Определение начальных параметров расчета
Нормативные значения начальных параметров*

$$Q_0^H = P_H = 0,64 \text{ т.}$$

$$M_0^H = P_H H - M_H = 0,64 \cdot 2,4 - 0,756 = 0,78 \text{ т.м.}$$

Расчетные значения начальных параметров

При коэффициентах перегрузок:

для внешних сил $n_1 = 1,22$;

для собственного веса конструкции $n_2 = 1,1$;

$$Q_0^P = 1,22 \cdot 0,64 = 0,78 \text{ т.}$$

$$M_0^P = 1,22 \cdot 0,78 = 0,94 \text{ т.м.}$$

Выбор сечения и армирования сваи

Предварительно принимаем максимальное значение изгибающего момента, возникающего в свае от внешних сил:

$$M_{\text{макс}} = 1,5 M_0 = 1,5 \cdot 0,94 = 1,41 \text{ т.м.}$$

По табл. 9 принимаем сваю: сечением $30 \times 30 \text{ см}$, с армированием $4\varnothing 14$. Длина сваи $l_0 + H = 2,6 + 2,4 = 5 \text{ м}$.

Допустимая величина изгибающего момента на сваю $|M| = 1,8 \text{ т.м.}$

*Определение собственного веса сваи
Нормативные значения*

$$\gamma_c^H = 0,3 \cdot 0,3 \cdot 1,0 \cdot 2,5 = 0,22 \text{ т/м.}$$

$$P_c^H = \gamma_c^H (l + H) = 0,22 \cdot 5 = 1,1 \text{ т.}$$

Расчетные значения

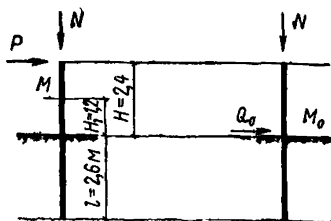
$$\gamma_c^P = \gamma_c^H \cdot 1,1 = 0,22 \cdot 1,1 = 0,24 \text{ т/м.}$$

$$P_c^P = P_c^H \cdot 1,1 = 1,1 \cdot 1,1 = 1,2 \text{ т.}$$

*Определение границ слоев и коэффициентов
пропорциональности*

Согласно табл. 15 найдем значения коэффициентов пропорциональности грунта — K_L и мощность слоев в виде, показанном на рис. 14.

Рис. 14. Расчетная схема



Таким образом, для расчета сваи имеем следующие исходные данные.

Нормативные нагрузки	Расчетные нагрузки
$Q_0^H = 0,64 \text{ т}$	$Q_0 = 0,78 \text{ т}$
$M_0^H = 0,78 \text{ тм}$	$M_0 = 0,94 \text{ тм}$
$N_H = 12 \text{ т}$	$N = 14,5 \text{ т}$
$P_C^H = 1,1 \text{ т}$	$P_C = 1,2 \text{ т}$
$\gamma_C^H = 0,2 \text{ т/м}$	$\gamma_C = 0,24 \text{ т/м}$
$K_1 = 25 \text{ т/м}^2$	$X_1 = 0,7 \text{ м}$
$K_2 = 45 \text{ т/м}^3$	$X_2 = 1,9 \text{ м}$
$K_3 = 65 \text{ т/м}^4$	$X_3 = 2,4 \text{ т}$

Расчет по первому предельному состоянию

Определяем величины Σ_2 , Σ_3 , Σ_4 по формулам (39), (40) и (41):

$$\Sigma_2 = 65 \cdot 2,6^2 - 20 \cdot 1,9^2 - 20 \cdot 0,7^2 = 357,4;$$

$$\Sigma_3 = 65 \cdot 2,3^3 - 20 \cdot 1,9^3 - 20 \cdot 0,7^3 = 998,4;$$

$$\Sigma_4 = 65 \cdot 2,6^4 - 20 \cdot 1,9^4 - 20 \cdot 0,7^4 = 2704,9.$$

Определяем l_0 из выражения (38)

$$l_0 = \frac{Q_0 \left[3 \Sigma_4 - \frac{3}{25 d} (2N + P_C) (H + l) \right] + 4 M_0 \Sigma_3}{4 Q_0 \Sigma_3 + 6 M_0 \Sigma_2} =$$

$$= \frac{0,78 \left[8114,7 - \frac{3}{25 \cdot 0,3} 30 \cdot 2,5 \right] + 3,76 \cdot 998,4}{3,08 \cdot 998,4 + 5,64 \cdot 357,4} = 1,964 \text{ м.}$$

Определяем величины B , C и D по формулам (43), (44), (45):

$$B = \frac{1}{2(M_0 + Q_0 l) l_0} = \frac{1}{2(0,94 + 0,78 \cdot 2,6) \cdot 1,964} = \frac{1}{11,55};$$

$$C = \frac{25 \cdot 0,3}{108} [15,6 \cdot 1,964 \cdot 357,4 - 18,256 \cdot 998,4 + 8114,7] \frac{1}{11,55} = 5,03;$$

$$D = 30,2 \cdot 5 \frac{1}{11,55} = 13,1.$$

Соответственно на рис. 12 при $C=5,03$ и $D=13,1$ находим $\Delta_r = 0,0042$ м и определяем Θ

$$\Theta = \frac{\Delta_r}{l_0} = \frac{0,0042}{1,964} = 0,002135.$$

По формулам (42а) и (36) определяем Q_i и M_i для различных уровней заглубленной части свай.

Расчет ведем по слоям:

$$Q_i = Q_{i-1} - \frac{2 d \lambda}{l_0} K_i \cdot 2 [1,5 l_0 (x_i^2 - x_{i-1}^2) - (x_i^3 - x_{i-1}^3)];$$

$$Q_1 = 0,78 - 0,01461 \cdot 25 \cdot 0,7^2 (2,946 - 0,7) = 0,368 \text{ т};$$

$$Q_2 = 0,368 - 0,01461 \cdot 45 [2,946 (1,9^2 - 0,7^2) - (1,9^3 - 0,7^3)] = -1,387 \text{ т};$$

$$Q_3 = -1,387 - 0,01461 \cdot 65 [2,946 (2,6^2 - 1,9^2) - (2,6^3 - 1,9^3)] \approx 0.$$

Изгибающий момент

Расчет производим тоже по слоям по формуле (36):

$$M_1 = 0,94 + 0,78 \cdot 0,7 + \left(14,5 + \frac{3,1}{2} \cdot 0,24\right) 3,10 \cdot 0,002135 - 0,00366 \cdot 25 \cdot 0,7^3 (11,784 - 10,656 + 2,1) = 1,576 \text{ тм};$$

$$M_2 = 1,576 + 0,368 \cdot 1,2 + (14,5 + 2,15 \cdot 0,24) 4,3 \cdot 0,002135 - 0,00366 \cdot 45 [11,784 \cdot 1,9 (1,9^2 - 0,7^2) - 14,456 (1,9^3 - 0,7^3) + 3 (1,9^4 - 0,7^4)] = 0,895 \text{ тм};$$

$$M_3 = 0,895 - 1,387 \cdot 0,7 + (14,5 + 2,5 \cdot 0,24) 5,0 \cdot 0,002135 - \\ - 0,00366 \cdot 65 [11,784 \cdot 2,6 (2,6^2 - 1,9^2) - 18,265 \cdot (2,6^3 - 1,9^3) + \\ + 3 (2,6^4 - 1,9^4)] = 0.$$

Определение величины M_{\max} по формуле (46):

$$Q_1 = 0,368 \text{ т};$$

$$Q_2 = -1,387 \text{ т}.$$

Так как $Q_1 > 0$ и $Q_2 < 0$, заключаем, что поперечная сила имеет нулевое значение во втором слое.

Ординату максимального изгибающего момента x_m находим по формуле (49)

$$\frac{1,964 \cdot 0,368}{2 \cdot 0,00718 \cdot 45} - [5,892(x_m^2 - 0,49) - 2(x_m^3 - 0,343)] = 0.$$

Решив уравнение, находим:

$$x_m = 0,9 \text{ м};$$

$$M_{\max} = 1,576 + 0,368 \cdot 0,2 + (14,5 + 1,65 \cdot 0,24) 3,3 \cdot 0,002135 = \\ = 0,00366 \cdot 45 [11,784 \cdot 0,9 \cdot 0,32 - 11,456 \cdot 8,386 + 1,245] = 1,718 \text{ т.м}.$$

Расчет по второму предельному состоянию

По формулам (43), (44) и (45) определяем B_H , C_H , D_H от действия нормативных нагрузок (см. табл. 6):

$$B_H = \frac{1}{2(M_0 + Q_0 l) l_0} = \frac{1}{2(0,78 + 0,64 \cdot 2,6) 1,964} = \frac{1}{9,6};$$

$$C_H = C \frac{B_H}{B} = 5,03 \left(\frac{1}{9,6} : \frac{1}{11,55} \right) = 6,05;$$

$$D_H = (2N_H + P_i^H)(H + l) B_H = (24,0 + 1,1) 5 \frac{1}{9,6} = 13,1.$$

По графику на рис. 12 находим

$$\Delta_r^H = 0,0035 \text{ м}.$$

При этом должно быть удовлетворено условие (46).

При задании в проекте перемещения свай-колонны в верхней ее части на высоте H от поверхности грунта $[\Delta_H^H]$.

Определяем это перемещение по формуле (47), т. е.

$$\Delta_H^H = (H + l_0) \Theta = (2,4 + 2,964) \frac{\Delta_r^H}{l_0} = (2,4 + 1,964) \frac{0,0035}{1,964} = 0,007 \text{ м.}$$

При этом должно быть удовлетворено условие

$$\Delta_H^H \leq \Delta_{H \text{ пр.}}$$

Для наглядного представления о необходимости учета многослойности основания, ниже приводится пример 2 для той же свай с напластованием слоев грунта, расположенных в обратном порядке.

Пример 2

Расчитать сваю, приведенную в примере 1, при убывании прочности грунтов по глубине:

$$K_1 = 65 \text{ т/м}^4; \quad x_1 = 0,7 \text{ м}; \quad l = 2,6 \text{ м};$$

$$K_2 = 45 \text{ т/м}^4; \quad x_2 = 1,9 \text{ м}; \quad H = 2,4 \text{ м};$$

$$K_3 = 25 \text{ т/м}^4; \quad x_3 = 2,6 \text{ м}; \quad d = 0,3 \text{ м}.$$

Расчет по первому предельному состоянию

По формулам (39), (40), (41) определяем величины Σ_2 , Σ_3 , Σ_4 :

$$\Sigma_2 = 25 \cdot 2,6^2 + 20 \cdot 1,9^2 + 20 \cdot 0,7^2 = 251;$$

$$\Sigma_3 = 25 \cdot 2,6^3 + 20 \cdot 1,9^3 + 20 \cdot 0,7^3 = 583,44;$$

$$\Sigma_4 = 25 \cdot 2,6^4 + 20 \cdot 1,9^4 + 20 \cdot 0,7^4 = 1407,887.$$

Определяем l_0 по формуле (38)

$$l_0 = \frac{0,78 \left(4223,652 - \frac{3}{25 \cdot 0,3} 30,2 \cdot 5 \right) + 0,94 \cdot 4 \cdot 583,44}{0,78 \cdot 4 \cdot 583,44 + 5,64 \cdot 251} = 2,151 \text{ м.}$$

Определяем величины B , C , D по формулам (43), (44) и (45):

$$B = \frac{1}{2 (M_0 + Q l) l_0} = \frac{1}{2 (0,94 + 0,77 \cdot 2,6) 2,151} = \frac{1}{12,65};$$

$$C = \frac{25 \cdot 0,3}{108} (15,6 \cdot 2,151 \cdot 251 - 4,751 \cdot 4 \cdot 583,44 + 4223,652) \frac{1}{12,65} = 8,55;$$

$$D = (2N + P_c) \cdot (H + l) B = 30,2 \cdot 5 \frac{1}{12,65} = 11,75.$$

По графику на рис. 12 определяем при $C_1=8,55$ и $D=11,75$

$$\Delta_r = 0,00251 \text{ м.}$$

Определяем величину Θ

$$\Theta = \frac{\Delta_r}{l_0} = \frac{0,00251}{2,151} = 0,001167.$$

По формулам (42а) и (36) определяем Q_x и M_x для различных уровней подземной части свай.

Расчет ведем по слоям:

$$Q_1 = 0,78 - 0,00837 \cdot 65 (3,227 \cdot 0,49 - 0,343) = 0,097 \text{ т;}$$

$$Q_2 = 0,097 - 0,00837 \cdot 45 [3,227 (1,9^2 - 0,7^2) - (1,9^3 - 0,7^3)] = -1,241 \text{ т;}$$

$$Q_3 = -1,241 - 0,00837 \cdot 25 [3,227 (2,6^2 - 1,9^2) - (2,6^3 - 1,9^3)] = 0$$

Изгибающий момент

В данном примере ограничимся определением $M_{\text{макс}}$.

Ординату X_m максимального изгибающего момента найдем графически из эпюры Q_x (рис. 15) $X_m \approx 0,8 \text{ м}$.

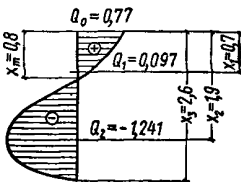


Рис. 15. Эпюра прерывающихся сил Q вдоль свай

Найдем вначале M_1 :

$$M_1 = 0,94 + 0,78 \cdot 0,7 + (14,5 + 1,55 \cdot 0,24) 3,1 \cdot 0,001167 - \frac{0,015 \cdot 0,3}{2,151} 65 (12,906 \cdot 0,7^3 - 11,404 \cdot 0,7^2 + 3,07^4) = 1,366 \text{ тм;}$$

$$M_{\text{макс}} = 1,366 + 0,097 \cdot 0,1 + (14,5 + 1,6 \cdot 0,24) 3,2 \cdot 0,001167 - \\ - \frac{0,015 \cdot 0,3}{2,151} 45 [12,906 (0,8^3 - 0,7^3) - 11,804 (0,8^3 - 0,7^3) + \\ + 3 (0,8^4 - 0,7^4)] \approx 1,43 \text{ тм.}$$

Расчет по второму предельному состоянию

По формулам (43), (44) и (45) определяем B_H , C_H , D_H

$$B_H = \frac{1}{2 (0,78 + 0,64 \cdot 2,6) 2,151} = \frac{1}{10,5};$$

$$C_H = 8,55 \left(\frac{1}{10,5} : \frac{1}{12,65} \right) = 10,3;$$

$$D_H = (24 + 1,1) 5 \frac{1}{10,5} = 11,95.$$

По графику на рис. 11 находим

$$\Delta_r^H = 0,0021 \text{ м.}$$

РАСЧЕТ СВАЙНЫХ ФУНДАМЕНТОВ С ЖЕСТКИМ РОСТВЕРКОМ НА ВЕРТИКАЛЬНУЮ НАГРУЗКУ

Общие положения

Сваи нумеруются, и координаты их осей выбираются согласно схеме на рис. 16.

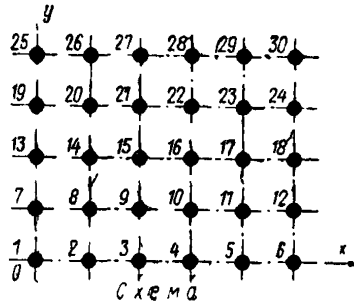


Рис. 16. Расчетная схема расположения свай в плане

Исходными данными являются:

- d — диаметр свай в m ;
 - x, y — расстояние между осями крайних свай в плане соответственно по оси OX и OY в m ;
 - P — внешняя нагрузка на ростверк в t ;
 - x_0, y_0 — координаты точки приложения силы в m ;
 - $P_{пред}$ — предельная нагрузка на сваю в t , определяемая по статическим испытаниям или по СНиП II-Б.5-67 «Свайные фундаменты. Нормы проектирования», табл. 1 и 2.
 - W — осадка одиночной сваи от действия единичной нагрузки в m , определяемая по статическим испытаниям с учетом фактора времени;
 - ξ — безразмерный коэффициент, учитывающий взаимное влияние свай друг на друга, может быть принят $\xi=1$.
- Результатами расчета являются:
- α — крен относительно оси OX , β — крен относительно оси OY ;
 - W_0 — вертикальное перемещение ростверка в точке (x_0, y_0) ;
 - K_i — номер сваи, потерявшей устойчивость или работающей на выдергивание (причем для свай, работающих на выдергивание, эти номера имеют знак «—»).

Программа автоматически формирует симметричную систему

$$\sum_{j=1}^n W_{ij} X_j + \alpha (x_i - x_0) + \beta (y_i - y_0) - W_0 = 0,$$

где n — число свай $\sum_{j=1}^n x_j = P$; $i, j = 1, 2, \dots, n$.

Для решения этой системы используется программа Н-7 Киев-ЗНИИЭПа, которая имеется в ДЗУ вместе с программой Н-59. Учет устойчивости и выдерживания свай производится неравенством

$$0 \leq X_j \leq P_{\text{пред}}. \quad (53)$$

Фактически решается система линейных уравнений и неравенств, для чего используется итерационный процесс. После решения системы на каждом шагу итерации производится проверка $0 \leq X_j \leq P_{\text{пред}}$. Если при данном j это неравенство не выполняется, то назначается

$$X_j = \begin{cases} 0, & \text{если } X_j < 0 \\ P_{\text{пред}}, & \text{если } X_j > P_{\text{пред}}. \end{cases} \quad (54)$$

Это исправленное значение X_j подставляется в систему как известная величина, система переформируется и порядок ее уменьшается. Этот процесс повторяется при каждой итерации, пока все X_j не становятся больше $P_{\text{пред}}$ и не меньше нуля либо система не становится вырожденной (что указывает на общую потерю устойчивости ростверком в целом).

Программой предусмотрена возможность расчета без учета неравенств, либо с учетом какого-то одного неравенства. То есть имеется 4 варианта:

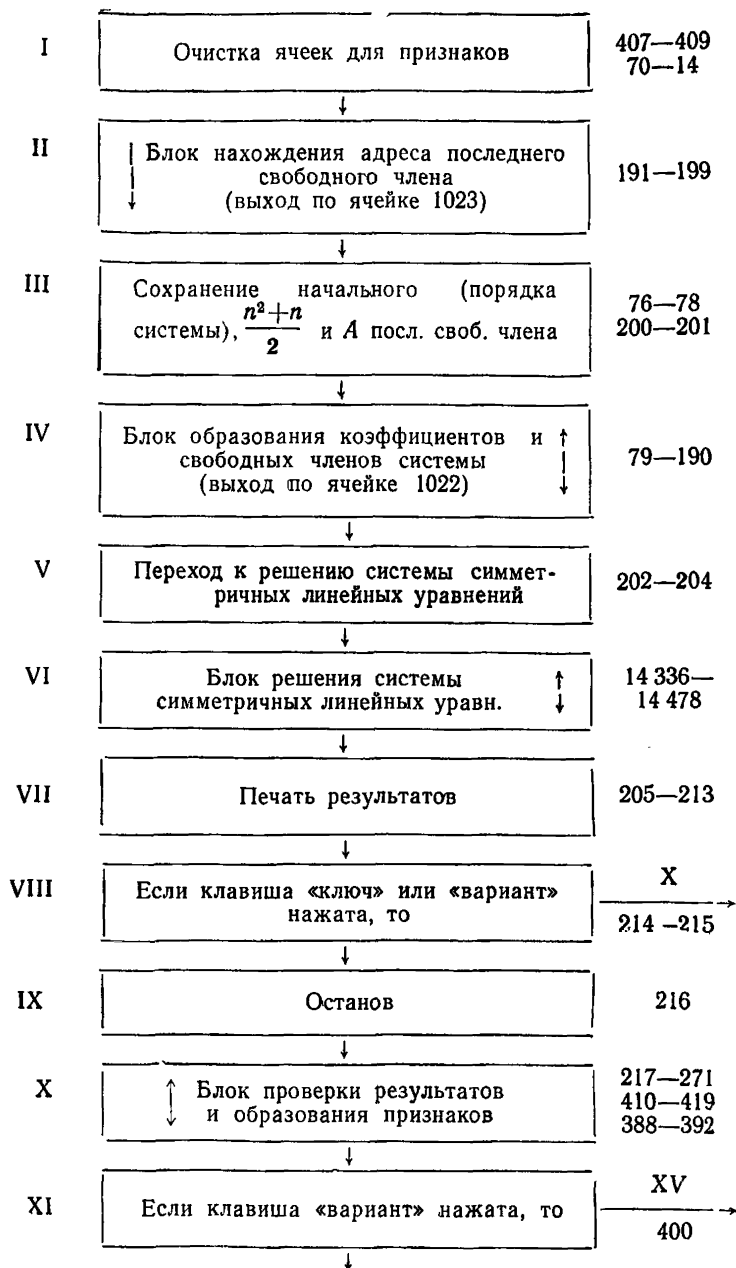
- I — без учета неравенства (53);
 - II — с учетом только $X_j \leq P_{\text{пред}}$ (нажата клавиша «Ключ»);
 - III — » » » $X_j \geq 0$ (нажата клавиша «Вариант»);
 - IV — с учетом (53) (нажаты клавиши «Ключ» и «Вариант»).
- Результаты печатаются, после чего машина останавливается. Для вычисления W_{ij} используется формула

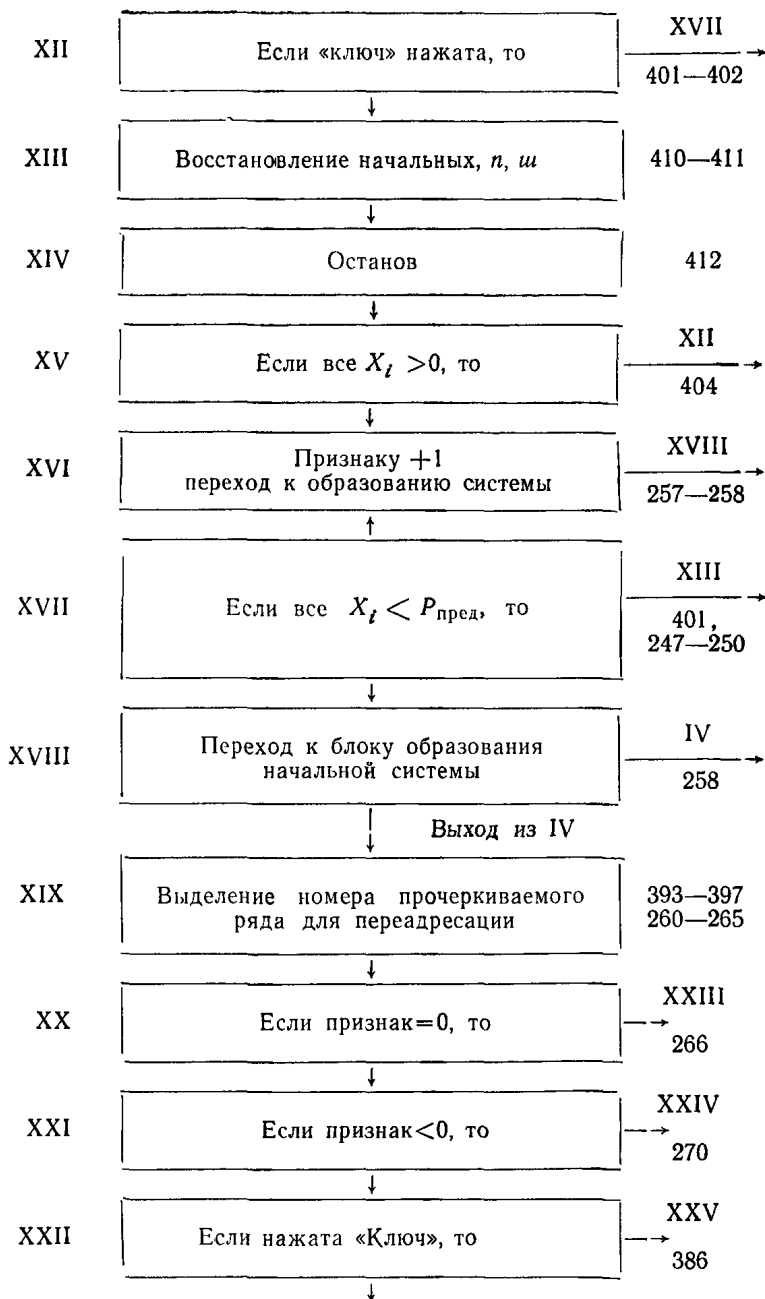
$$W_{ij} = W e^{-\frac{0,5 r_{ij}}{d}}; \quad (55)$$

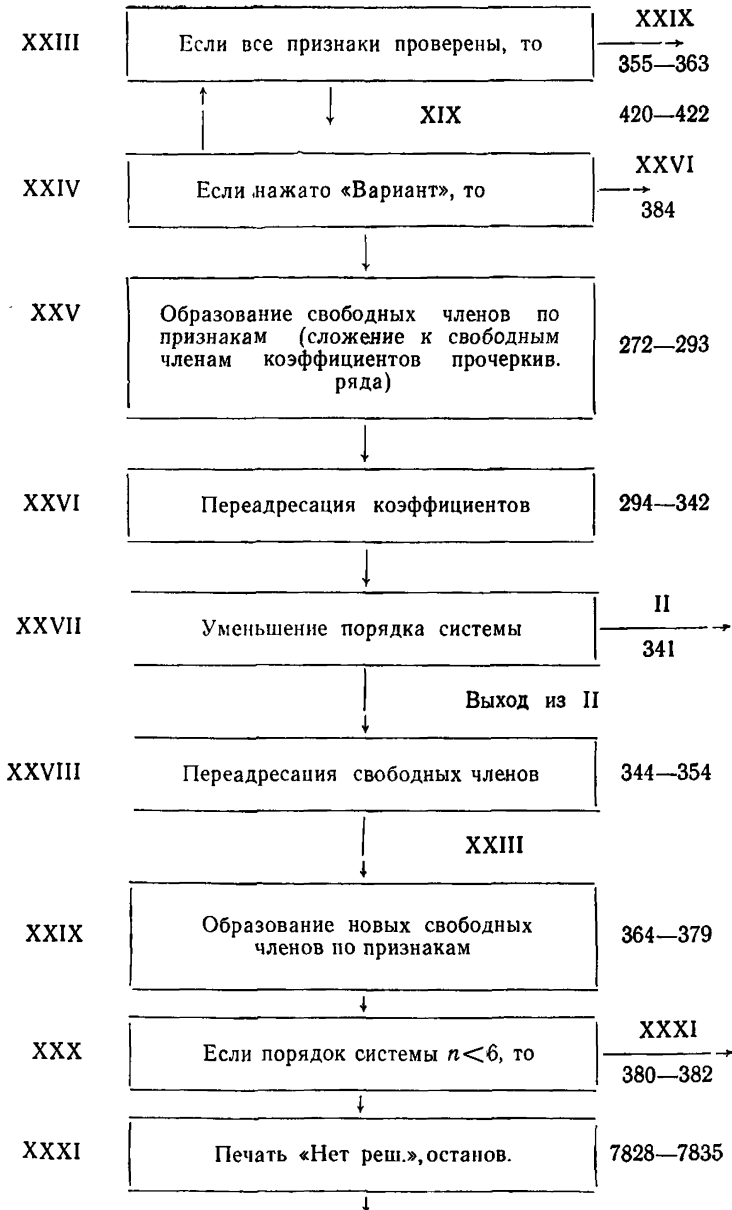
$$r_{ij} = \sqrt{(x_i - x_j)^2 + (y_i - y_j)^2},$$

где x_i, y_i — координаты оси i -й свай в плане.

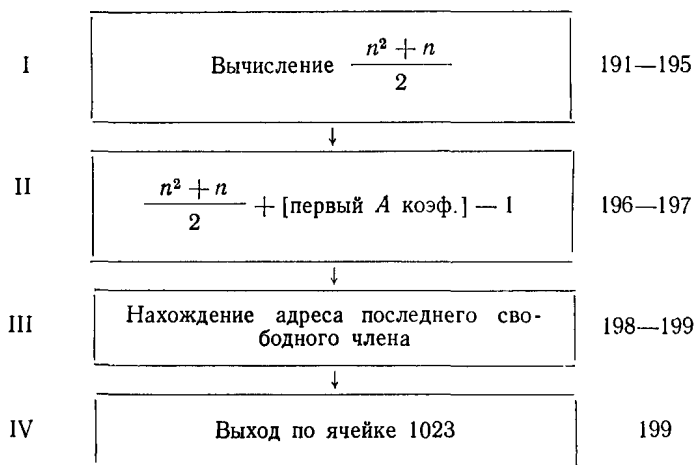
Блок-схема



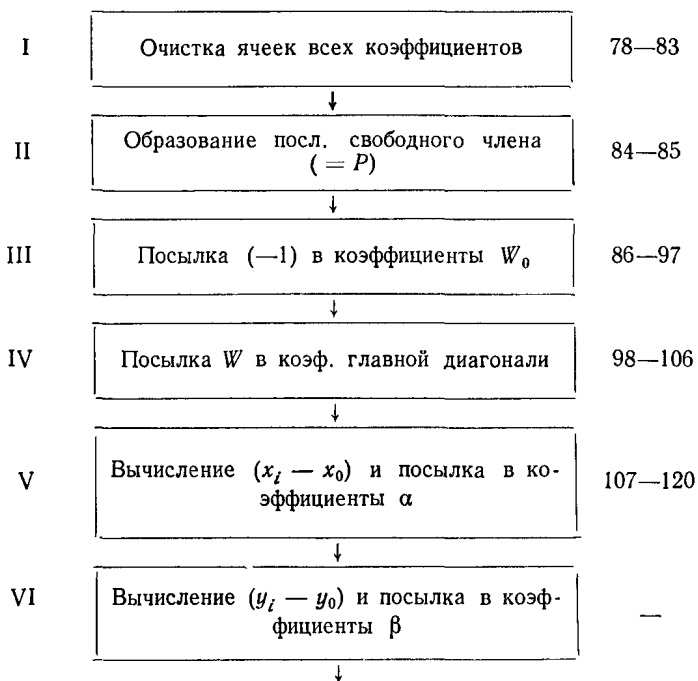


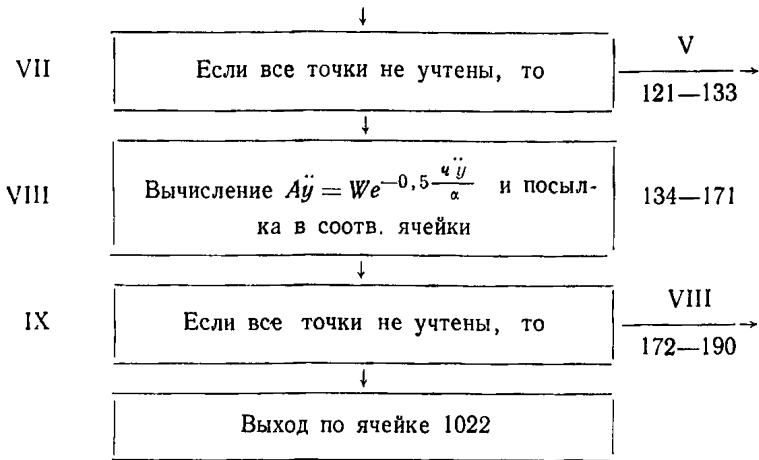


Блок нахождения адреса последнего свободного члена

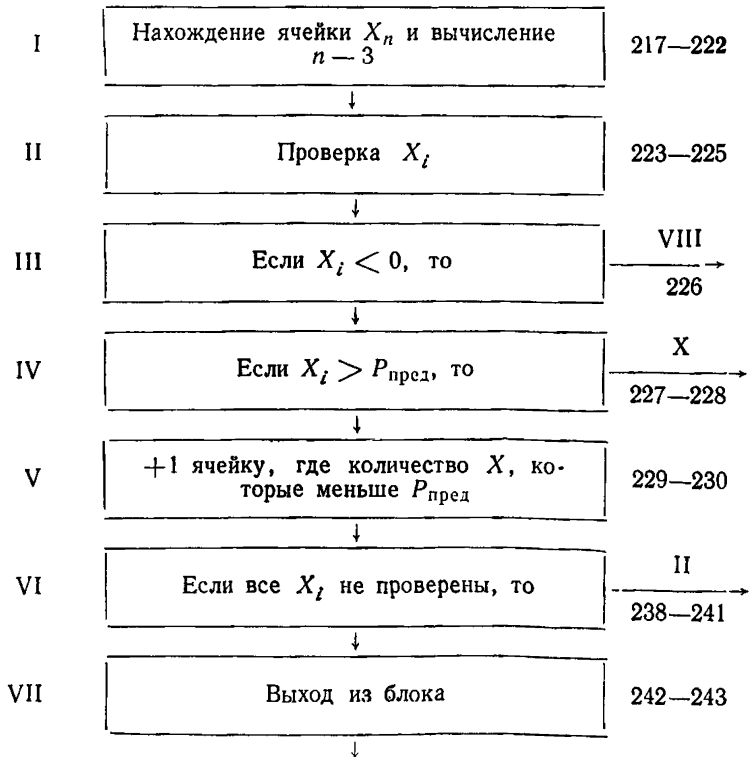


Блок образования коэффициентов и свободных членов системы





Блоки проверки результатов и образования признаков



	↓	
VIII	↓	
	↓	
IX	↓	
	↓	
X	↓	
	↓	
XI	↓	
	↓	
XII	↓	VI
		→

Добавление 1 к 6-му разряду ячейки признака	388—389
Печатать знака «—»	391
Печать порядкового номера X_i	231—232
Сложение порядкового номера с 5-ю последними разрядами ячейки признака	233—234
Передвижение ячейки признака 6-го разряда налево или переадресация	235—237 251—253

РАСПРЕДЕЛЕНИЕ ПАМЯТИ МАШИНЫ

I ОЗУ

1. Рабочие ячейки

10—15; 19; 27—28; 34—59

2. Исходные данные

60—69; 29—30

3. Программа

70—422

4. Константы 31—33.

5. Матрица системы уравнений (в треугольном виде)

424—1017 (до 33-го порядка).

II ОЗУ

1. Решение системы уравнений

14336—14478.

2. Контрольное суммирование

2144—2173.

3. Печать «Нет реш.»

7828—7835; 7934—7935.

Примечание. После ввода ленты программы в машину можно считать контрольную сумму. Контрольная сумма записывается в ячейку 34 и программа «Подготовка» в ячейки 50—54. В ходе расчета эти ячейки используются как рабочие.

ИНСТРУКЦИЯ

Исходные данные

Исходные данные вводятся в ОЗУ в следующем порядке:

29 m и n — порядок системы;

w n — ширина ленты;

60 n W — осадка одиночной сваи от действия единичной нагрузки (m/τ);

d — диаметр сваи (m);

$\left. \begin{matrix} x \\ y \end{matrix} \right\}$ — расстояния между осями крайних свай по оси X и оси Y соответственно (m);

$\left. \begin{matrix} w_1 \\ w_2 \end{matrix} \right\}$ — расстояния между осями соседних свай по оси X и по оси Y соответственно (m);

P — нагрузка на ростверк (τ);

$\left. \begin{matrix} x_0 \\ y_0 \end{matrix} \right\}$ — координаты точки приложения внешней нагрузки (m);

$P_{\text{пред}}$ — предельная нагрузка на одиночную сваю (τ).

Примечания: 1. Порядок системы и ширина ленты получают следующим образом: $n = \text{число свай} + 3$.

2. Возможны 4 варианта расчета:

а) без учета условия $X_i \leq P_{\text{пред}}$;

б) с учетом условия $X_i \leq P_{\text{пред}}$ (нажата клавиша «Ключ»);

в) с учетом условия $X_i > 0$ (нажата клавиша «Вариант»);

г) » » условий $X_i \leq P_{\text{пред}}$; $X_i > 0$ (нажаты клавиши «Ключ» и «Вариант»).

Инструкция оператору

1. Ввести ленту с программой и с контрольным суммированием.
2. Сосчитать контрольную сумму, для чего нужно набрать на РТА 50И.

При совпадении контрольных сумм машина останавливается и горит лампа «останов.». При несовпадении машина печатает «не совп.». Тогда необходимо повторить ввод.

3. Следить, чтобы в машине была кассета с программой Н-59.

4. Ввести исходные данные в следующем порядке:

$$\frac{29 m}{n, n}, ш$$

$$60 n$$

$$W, d, x, y, ш_1, ш_2, P, x_0, y_0, P_{\text{пред}}, ш.$$

5. В случае необходимости нажать нужную клавишу («Ключ» или «Вариант» или обе).

6. Набрать на РТА 70И.

После окончания расчета в СчК находится 635_в или 17400_в.

Второй случай тогда, когда печатается «нет реш.».

Примечание. При повторном решении с тем же самым n придется ввести снова n в ячейки 29 и 30, потому что в ходе расчета содержимое этих ячеек портится.

Результаты расчета

При решении задачи на печать выводятся результаты по каждой итерации в следующем порядке:

X_i — величины реакций свай в порядке нумерации (согласно рис. 16);

α, β — крены ростверка в плоскости OX и OY соответственно;

W_0 — осадка ростверка в точке приложения равнодействующей внешней нагрузки;

i — номера свай, реакция которых $X_i > P_{\text{пред}}$, если нажата клавиша «Ключ»;

j — номера свай, работающих на выдергивание (со знаком минус), если нажата клавиша «Вариант».

Расчет заканчивается, когда выполненными оказываются ограничения для величин реакций всех свай.

Результаты окончательной итерации выводятся так же, как и в промежуточных итерациях.

Тест — пример

Исходные данные	4
29 т	1
33	1
33	900
<i>Ш</i>	2,5
60п	2
0,0004368	40,001
0,3	<i>Ш</i>
	Нажата клавиша «Ключ»
	Результаты:

42,4001			
32,5615	<i>P</i> =900 т		
32,8680			
32,8680			
32,5615	<i>P</i> =40 т	42,4001	
42,4001		0,0000	
32,5617		0,0000	
22,2675		0,0268	
22,8260		33,2561	
22,8260		33,2741	
22,2675		33,1182	
32,5617		33,1182	
32,5617		33,2741	
32,8539		33,2741	
22,7983		23,5313	
23,3776		22,9956	22,5313
23,3776		22,9956	22,9956
22,7983		22,5313	22,5313
32,8539		32,2741	22,9956
32,5617	33,0974	22,5313	
22,2675	23,9601	33,2741	
22,8260	22,5555	33,2741	
22,8260	23,5555	33,1182	
22,2675	23,9601	33,1182	
32,5617	32,0974	33,2741	
42,4001	33,2741	0,0000	
32,5615		0,0000	
32,8680		0,0270	
32,8680			
32,5615			

Код — программа

106	70	<i>E</i> ₁	336	<i>П</i>	
107	71	<i>П</i>	0	<i>П</i>	50
110	72	<i>С</i>	1	<i>П</i>	1
111	73	<i>B</i> ₁	9	<i>П</i>	
112	74	<i>E</i> ₁	16380	<i>П</i>	
113	75	<i>M</i> ₁	191	<i>К</i>	1023
114	76	<i>П</i>	29	<i>Н</i>	11
115	77	<i>П</i>	41	<i>Н</i>	12

116	78	E_1	121	Π	
117	79	Π	32	H	1
120	80	Π	0	K	
121	81	C	1	Π	1
122	82	B_1	13	H	
123	83	E_1	16380	Π	
124	84	Π	13	H	1
125	85	Π	66	H	
126	86	Π	32	H	
127	87	C_1	11	H	
130	88	B_1	1	Π	1
131	89	Π	12	H	41
132	90	B_1	7	Π	
133	91	C_1	32	H	41
134	92	Π	11	H	40
135	93	Π	6051	H	
136	94	B	1	Π	40
137	95	C_1	1	H	1
140	96	B_1	41	H	
141	97	E_1	16379	Π	
142	98	Π	32	H	1
143	99	B	3	Π	41
144	100	Π	11	H	40
145	101	Π	60	H	
146	102	C	40	H	1
147	103	B_1	41	H	
150	104	E_1	2	Π	
151	105	B	1	Π	40
152	106	E_1	16378	Π	
153	107	Π	11	H	
154	108	B_1	1	Π	42
155	109	Π	0	Π	43
156	110	Π	0	Π	34
157	111	Π	32	H	40
160	112	C_1	11	H	
161	113	B_1	3	Π	1
162	114	Π	43	H	45
163	115	$B\Pi$	67	H	45
164	116	Π	45	H	
165	117	Π	34	H	46
166	118	$B\Pi$	68	H	46
167	119	C	1	Π	1
170	120	Π	46	H	
171	121	Π	43	H	15
172	122	OB	62	H	15
173	123	E_1	4	H	43
174	124	$C\Pi$	64	H	43
175	125	B	1	Π	42
176	126	C_1	42	H	1
177	127	E_1	16370	Π	
200	128	Π	34	H	15
201	129	OB	63	H	15
202	130	E_1	3	Π	
203	131	$C\Pi$	65	H	34
204	132	Π	0	Π	43

Продолжение

205	133	E_1	16375	Π	
206	134	B	4	Π	41
207	135	Π	0	Π	43
210	136	Π	0	Π	34
211	137	Π	32	H	1
212	138	C_1	1	Π	1
213	139	Π	0	Π	46
214	140	Π	64	H	45
215	141	Π	43	H	37
216	142	OB	45	H	37
217	143	Π	34	H	38
220	144	OB	46	H	38
221	145	$УП$	37	H	37
222	146	$УП$	38	H	38
223	147	$СП$	37	H	38
224	148	$КП$	38	H	42
225	149	$ОД$	61	H	42
226	150	$УП$	5790	H	42
227	151	$УП$	6051	H	42
230	152	EX	42	H	42
231	153	E_1	4	Π	
232	154	X			
233	155	X			
234	156	X			
235	157	X			
236	158	$УП$	60	H	42
237	159	Π	42	H	
240	160	C	1	Π	1
241	161	Π	45	H	15
242	162	OB	62	H	15
243	163	E_1	2	Π	
244	164	$СП$	64	H	45
245	165	E_1	16359	Π	
246	166	Π	46	H	15
247	167	OB	63	H	15
250	168	E_1	3	Π	
251	169	$СП$	65	H	46
252	170	Π	0	Π	45
253	171	E_1	16353	Π	
254	172	C	4	Π	1
255	173	B_1	41	H	
256	174	H	1022	Π	
257	175	Π	43	H	15
260	176	OB	62	H	15
261	177	E_1	9	Π	
263	178	$СП$	64	H	43
262	179	Π	43	H	15
264	180	OB	62	H	15
265	181	E_1	3	Π	
266	182	Π	34	H	46
267	183	Π	43	H	45
270	184	E_1	16363	Π	
271	185	Π	34	H	46

Продолжение

272	186	E_1	16366	П	
273	187	СП	65	Н	34
274	188	П	0	П	43
275	189	П	34	Н	46
276	190	E_1	16333	П	
277	191	П	2	П	42
300	192	П	29	Н	41
301	193	УТ	41	Н	41
302	194	С	29	Н	41
303	195	ДТ	42	Н	41
304	196	C_1	32	Н	
305	197	B_1	1	П	14
306	198	C_1	29	Н	19
307	199	И	1023	П	
310	200	П	19	Н	13
311	201	$И_1$	79	К	1022
312	202	О	2274	Н	
313	203	Е	1	П	48
314	204	И	14336	П	
315	205	П	41	Н	
316	206	B_1	11	П	1
317	207	С	2048	П	1
320	208	ПП	0	Н	4
321	209	О	2274	Н	
322	210	П	1	Н	
323	211	A_1	11	П	
324	212	B_1	19	Н	
325	213	E_1	16377	П	
326	214	$И_3$	217	П	
327	215	E_1	1	П	1
330	216	E_1	195	П	
331	217	П	29	Н	10
332	218	B_1	3	П	43
333	219	П	6	П	49
334	220	П	19	Н	
335	221	B_1	3	П	42
336	222	П	0	П	15
337	223	П	42	Н	1
340	224		11	П	1
341	225	П	0	Н	34
342	226	E_1	27	П	
343	227	ОВ	69	Н	34
344	228	E_1	2	П	
345	229	С	1	П	15
346	230	E_1	7	П	
347	231	ПТ	43	Н	
350	232	О	2270	Н	
351	233	П	28	Н	1
352	234	С	43	Н	50
353	235	В	1	П	49
354	236	E_1	14	П	
355	237		6	П	50
356	238	В	1	П	43
357	239	В	1	П	42

Продолжение

360	240	B_1	44	H	
361	241	E_1	16365	Π	
362	242	M	6	Π	49
363	243	E_1	174	Π	
364	244	Π	28	H	1
365	245	A	6	Π	50
366	246	E_1	166	Π	
367	247	B_1	29	H	
370	248	C_1	3	Π	
371	249	E_1	7	Π	
372	250	E_1	159	Π	
373	251	C	1	Π	28
374	252	Π	6	Π	49
375	253	E_1	16368	Π	
376	254	B	1	Π	10
377	255	E_1	132	Π	
400	256	E_1	16358	Π	
401	257	C	1	Π	28
402	258	H_1	79	K	1022
403	259	E_1	133	Π	
404	260	Π	0	Π	38
405	261	Π	6	Π	49
406	262	Π	40	H	1
407	263		11	Π	1
410	264	Π	50	H	15
411	265	L_1	31	Π	45
412	266	E_1	92	Π	=
413	267	B_1	38	H	45
414	268	Π	15	H	
415	269	L_1	32	Π	
416	270	E_1	113	Π	
417	271	E_1	114	Π	
420	272	Π	45	H	39
421	273	Π	29	H	37
422	274	Π	32	H	
423	275	C_1	45	H	
424	276	B_1	1	Π	34
425	277	Π	14	H	
426	278	C_1	1	Π	36
427	279	Π	34	H	
430	280		11	Π	
431	281	C_1	36	H	1
432	282	$C\Pi$	0	H	
433	283	B	1	Π	39
434	284	E_1	4	Π	
435	285	B	1	Π	37
436	286	C	37	H	34
437	287	C	1	Π	36
440	288	E_1	16374	Π	
441	289	Π	36	H	
442	290	B_1	19	H	
443	291	E_1	2	Π	
444	292	C	1	Π	34
445	293	E_1	16377	Π	

Продолжение

446	294	П	29	Н	
447	295	В ₁	2	П	39
450	296	П	1	П	37
451	297	П	45	Н	35
452	298	П	32	Н	
453	299	С ₁	45	Н	34
454	300	В ₁	1	П	36
455	301	С ₁	39	Н	47
456	302	В ₁	37	Н	46
457	303	В	1	П	35
460	304	Е ₁	16	П	
461	305	П	34	Н	
462	306	Б ₁	11	П	
463	307	С ₁	36	Н	
464	308	П	0	Н	
465	309	П	1	Н	
466	310	Л ₁	2047	П	
467	311	М ₁	46	Н	
470	312	Е ₁	2	П	
471	313	С	2049	П	1
472	314	Е ₁	16377	П	
473	315	С	1	П	37
474	316	П	47	Н	
475	317	С ₁	2	П	34
476	318	П	46	Н	
477	319	С ₁	1	П	36
500	320	Е ₁	16364	П	
501	321	П	45	Н	
502	322	В ₁	1	П	
503	323	Е ₁	13	П	
504	324	П	47	Н	
505	325	С ₁	2	П	34
506	326	П	34	Н	
507	327		11	П	
510	328	С ₁	36	Н	1
511	329	П	0	Н	
512	330	П	1	Н	
513	331	А ₁	11	П	
514	332	Л ₁	2047	П	
515	333	М ₁	14	Н	
516	334	Е ₁	6	П	
517	335	С	2049	П	1
520	336	Е ₁	16376	П	
521	337	П	32	Н	
522	338	С ₁	29	Н	34
523	339	П	32	Н	36
524	340	Е ₁	16369	П	
525	341	В	1	П	29
526	342	С	1	П	38
527	343	И ₁	191	К	1023
530	344	П	45	Н	39
531	345	С	2049	П	1
532	346	П	0	Н	
533	347	В	1	П	39

Продолжение

534	348	E_1	2	Π	
535	349	C	2048	Π	1
536	350	E_1	16379	Π	
537	351	Π	1	H	
540	352	L_1	2047	Π	
541	353	M_1	19	H	
542	354	E_1	16374	Π	
543	355	E	1	Π	49
544	356	E_1	2	Π	
545	357	A	6	Π	15
546	358	E_1	16290	Π	
547	359	E_1	60	Π	
550	360	B_1	28	H	
551	361	E_1	2	Π	
552	362	C	1	Π	40
553	363	E_1	16280	Π	
554	364	Π	14	H	
555	365	C_1	1	Π	1
556	366		11	Π	1
557	367	Π	0	H	37
560	368	$УП$	69	H	37
561	369	A	11	Π	1
562	370	Π	37	H	
563	371	Π	1	H	
564	372	B_1	19	H	
565	373	E_1	2	Π	
566	374	C	1	Π	1
567	375	E_1	16374	Π	
570	376	Π	69	H	38
571	377	$ВП$	11810	H	38
572	378	$УП$	66	H	38
573	379	$СП$	38	H	
574	380	Π	29	H	30
575	381	B_1	6	Π	
576	382	$И$	7828	Π	
577	383	E_1	14	Π	
600	384	E_1	16293	Π	1
601	385	E_1	16353	Π	
602	386	$И_3$	272	Π	
603	387	E_1	16351	Π	
604	388	Π	28	Π	1
605	389	C	32	Π	50
606	390	C	1	Π	15
607	391	C	2259	H	
610	392	E_1	16222	Π	
611	393	Π	11	H	29
612	394	Π	13	H	19
613	395	B_1	29	H	14
614	396	Π	0	Π	40
615	397	E_1	16242	Π	
616	398	O	2274	Π	
617	399	E_1	16186	Π	
620	400	E_1	3	Π	1
621	401	Π	15	H	

Продолжение

622	402	I_3	247	Π	
623	403	E_1	6	Π	
624	404	M	29	H	10
625	405	E_1	16379	Π	
626	406	E_1	16234	Π	
627	407	Π	0	Π	28
630	408	Π	0	Π	1
631	409	E_1	16045	Π	
632	410	Π	11	H	29
633	411	Π	11	H	30
634	412	K	0	H	
635	413	L_1	131072	L	
636	414	E_1	2	Π	
637	415	M	258048	L	50
640	416	Π_1	0	H	50
541	417	E_1	16366	Π	
642	418	B	1	Π	28
643	419	E_1	16364	Π	
644	420	Π	40	H	
645	421	C_1	1	Π	
646	422	E_1	16321	Π	
647	423				
	50к	X	31	H	33
	51	X	70	H	422
	52	I_1	2144	K	1023
	53	I	7881	Π	9
	54	K	0	H	

Константы

	I	31 т			
	424				
	I				
	III				
	K	44020132	34 т		
14336		Π	0	Π	37
7		Π	30	H	34
8		Π	32	H	35
9		Π	0	K	47
14340		Π	0	Π	40
1		Π	35	H	38
2		Π	1	Π	36
3		Π	37	H	
4		E_1	19	Π	
5		Π	41	H	
6		C_1	47	H	
7		C_1	1	Π	44
8		C_1	36	H	45
9		Π	35	H	
14350		C_1	36	H	
1			11	Π	1

Продолжение

2	П	0	Н	43
3	П	44	Н	
4		11	П	1
5	П	0	Н	44
6	УП	43	Н	44
7	П	35	Н	
8		11	П	1
9	П	0	Н	43
14360	ДП	44	Н	43
1	П	45	Н	1
2	ОВ	43	Н	
3	Е ₁	23	П	
4	С	34	Н	38
5	В	40	Н	38
6	П	0	П	39
7	П	38	Н	
8	С ₁	39	Н	45
9	П	35	Н	
14370	С ₁	36	Н	44
1		11	П	1
2	П	0	Н	43
3	С	39	Н	44
4		11	П	1
5	П	0	Н	44
6	УП	43	Н	44
7	П	35	Н	
8		11	П	1
9	ОД	0	Н	44
14380	П	45	Н	1
1	ОВ	44	Н	
2	С	1	П	39
3	В ₁	34	Н	
14384	С ₁	36	Н	
5	С ₁	1	П	
6	Е ₁	16364	П	
7	П	36	Н	
8	С ₁	47	Н	
9	В ₁	1	П	
14390	В ₁	29	П	
1	С ₁	34	Н	
2	Е ₁	1	П	
3	С	1	П	40
4	С	1	П	36
5	В ₁	34	Н	
6	С ₁	1	П	
7	Е ₁	16329	П	
8	С	34	Н	35
9	П	29	Н	
14400	В ₁	34	Н	
1	В ₁	47	Н	
2	Е ₁	1	П	
3	В	1	П	34
4	С	1	П	47
5	В ₁	29	Н	

6	C_1	2	П	
7	E_1	16316	П	
14408	П	35	Н	41
9	П	37	Н	
14410	E_1	21	П	
1	П	0	П	46
2	П	1	П	37
3	П	31	Н	
4	E_1	1	П	
5	E_1	16305	П	
6	П	1	П	39
7	П	39	Н	
8	C_1	41	Н	1
9	П	0	К	
14420	С	1	П	39
1	B_1	29	Н	
2	E_1	16378	П	
3	П	41	Н	
4	C_1	46	Н	1
5	С	1	П	1
6	П	8213	К	
7	E_1	16293	П	
8	С	1	П	46
9	B_1	29	Н	
14430	E_1	16939	П	
1	E_1	48	П	
14432	П	29	Н	47
3	П	35	Н	
4		11	П	1
5	П	0	Н	42
6	ВП	0	П	42
7	П	41	Н	
8	C_1	47	Н	1
9	ОД	42	Н	
14440	П	35	Н	
1	B_1	32	Н	
2	E_1	23	П	
3	П	30	Н	
4	B_1	34	Н	
5	E_1	1	П	34
6	С	1	П	35
7	В	34	Н	47
8	В	1	П	39
9	П	1	П	
14450	П	35	Н	
1	C_1	39	Н	
2	B_1	11	П	1
3	П	0	Н	45
4	П	41	Н	
5	C_1	47	Н	44
14456	C_1	39	Н	
7	B_1	11	П	1
8	УП	0	Н	45
9	П	44	Н	1

Продолжение

14460	СП	45	Н	
1	С	1	П	39
2	В ₁	34	Н	
3	С ₁	1	П	
4	Е ₁	16369	П	
5	Е ₁	16351	П	
6	М	0	П	33
7	Е ₁	10	П	
8	П	29	Н	43
9	П	41	Н	
14470	Б ₁	11	П	42
1	С	2048	П	42
2	П	42	Н	1
3	ПП	0	Н	9
4	О	2274	Н	
5	С	2048	П	42
6	В	1	П	43
7	Е ₁	16378	П	
8	П	31	Н	
9	Е ₁	16332	П	
14480	Н	0	П	33
1	И	48	Н	
2	ПТ	44	Н	
3	К	0	П	

Контрольное суммирование

2144	П	0	К	10
2145	П	1	Н	6
2146	П	1023	Н	
2147	Л ₁	262016	П	2
2148	У	4	К	1
2149	Н	16382	Н	3
2150	Л ₁	1023	К	4
2151	Б ₁	12	К	4
2152	С	2048	К	4
2153	Л	9736	Н	3
2154	П ₁	0	Н	1
2155	П	0	Н	5
2156	А ₁	18	К	
2157	Л ₁	262143	П	
2158	С ₁	10	Н	10
2159	Л	262143	П	5
2160	С ₁	10	Н	10
2161	С	2048	К	1
2162	М	1	Н	1
2163	Е ₁	16374	П	
2164	Л	13527	Н	3
2165	Е ₁	2	П	
2166	В	128	К	2
2167	Е ₁	16364	К	